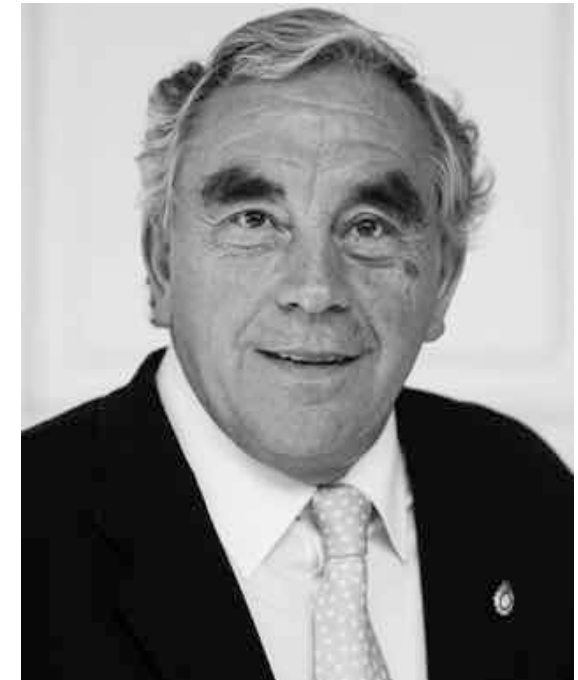




Club Español de Magnetismo

Premio Salvador Velayos

Girona 12 Noviembre 2021



colores de
atmodóvar

**¿QUÉ HE
HECHO YO PARA
MERECE
ESTO?**



50 años a vueltas con la Magnetostricción (1972-2022)

y unos pocos de neutrones

Manu Barandiaran



Universidad
del País Vasco

Euskal Herriko
Unibertsitatea

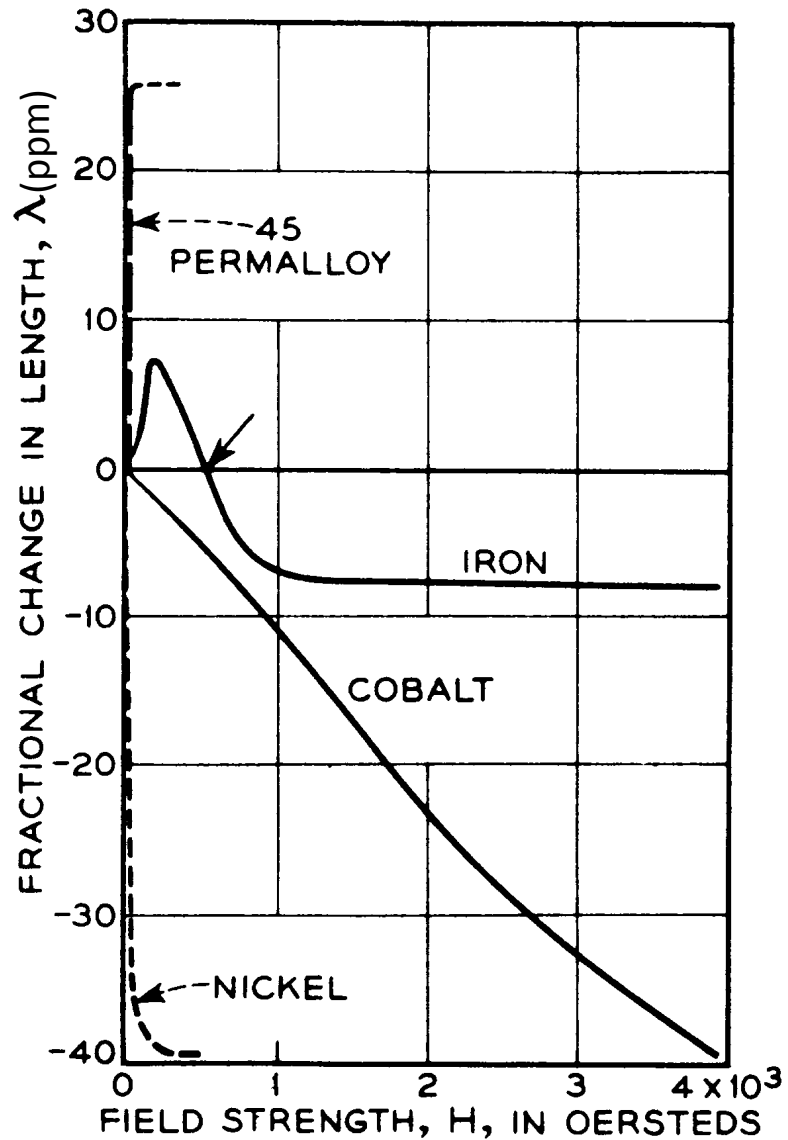
eman ta zabal zazu
Grupo de

Magnetismo y Materiales Magnéticos

Magnetostricción (JP Joule, 1848)

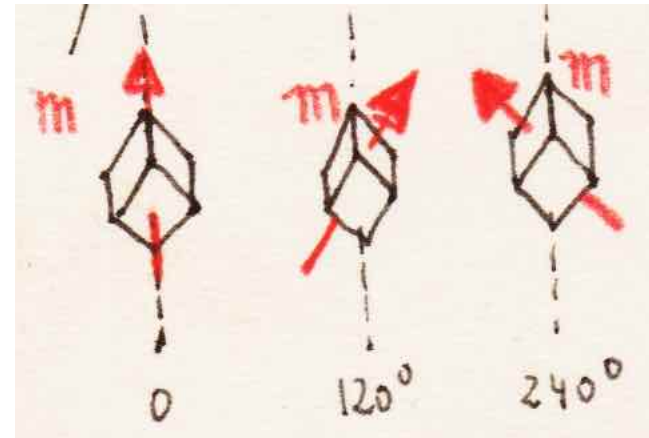
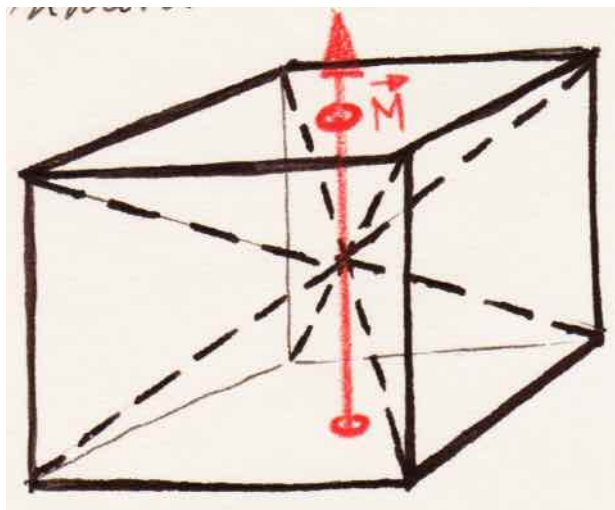


Magnetostricción $10^{-7} \leq \lambda_s \leq 10^{-3}$
Expansión térmica $10^{-6} K^{-1} \leq \alpha \leq 10^{-4} K^{-1}$

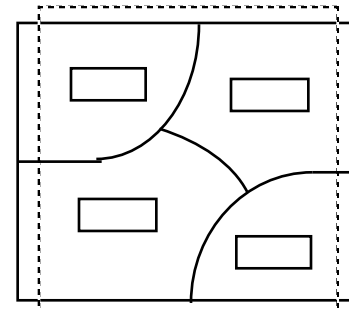
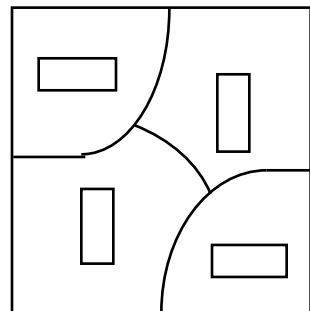


1972 trabajo para “Magnetismo” de 5º (Don Salvador)

Magnetostricción (argumento de simetría)



Un cristal cúbico, imanado, pierde sus ejes ternarios \rightarrow cristal tetragonal
¡Tiene que existir una deformación ligada a la imanación!



magnetostricción macroscópica

Théorie du magnétisme

André Herpin; Louis Néel, Presses Universitaires de France (PUF), Paris 1968.

Ferromagnetismus

R. Becker and W. Döring, J. Springer, Berlin, 1939

Magnetostriction, Forced Magnetostriction, and Anomalous Thermal Expansion in Ferromagnets

Earl Cullen and Herbert B. Cullen, Phys. Rev. 139, A455 (1965)

Magnetostriction: Theory and Applications of Magnetoelasticity

Étienne du Trémolet de Lacheisserie, CRC-Press, Boca Raton, 1993

Handbook of magnetostriction and magnetostRICTive materials. (2 Vols.)

Agustín del Moral, Del Moral Publ., University of Zaragoza, 2008

Magnetostricción

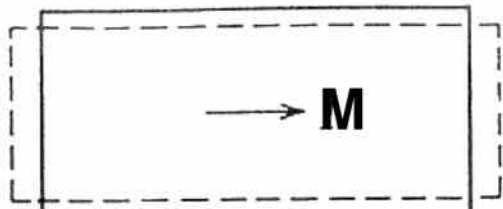
Deformación por imanación

Magnetoelasticidad

Imanación por esfuerzo o tensión

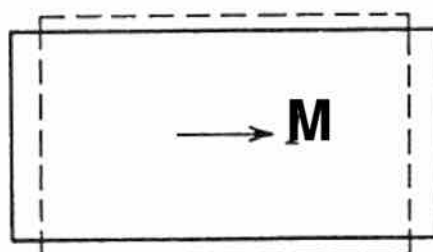
$$K_u = (3/2) \lambda_s \sigma$$

$$\lambda_s > 0$$



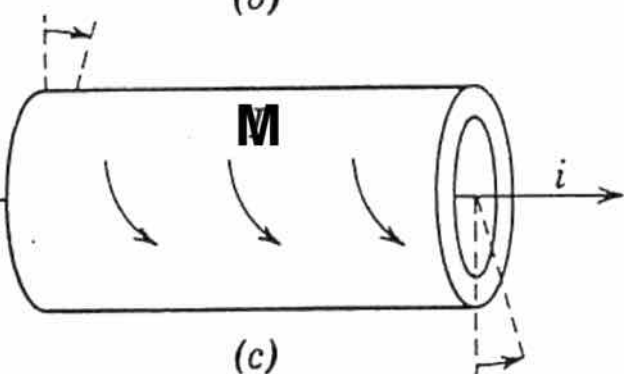
(a)

$$\lambda_s < 0$$

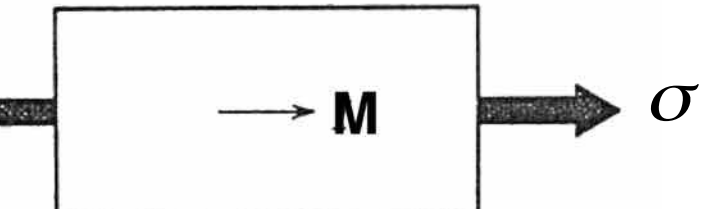


(b)

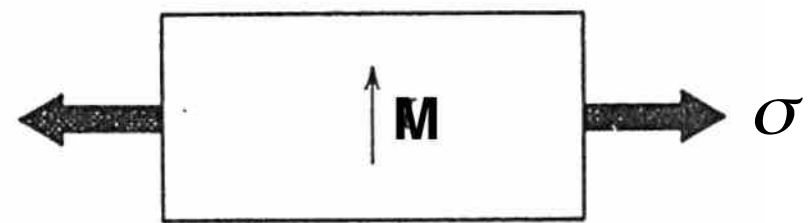
$$\lambda_s > 0$$



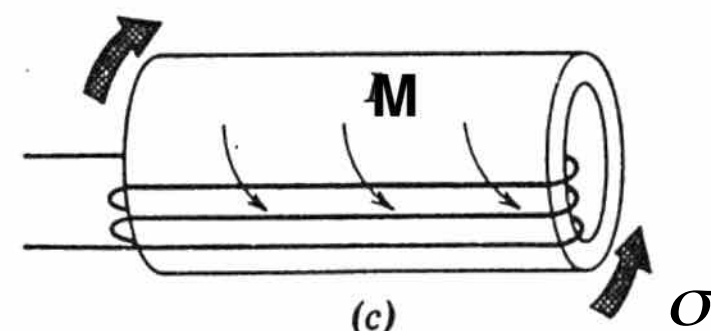
(c)



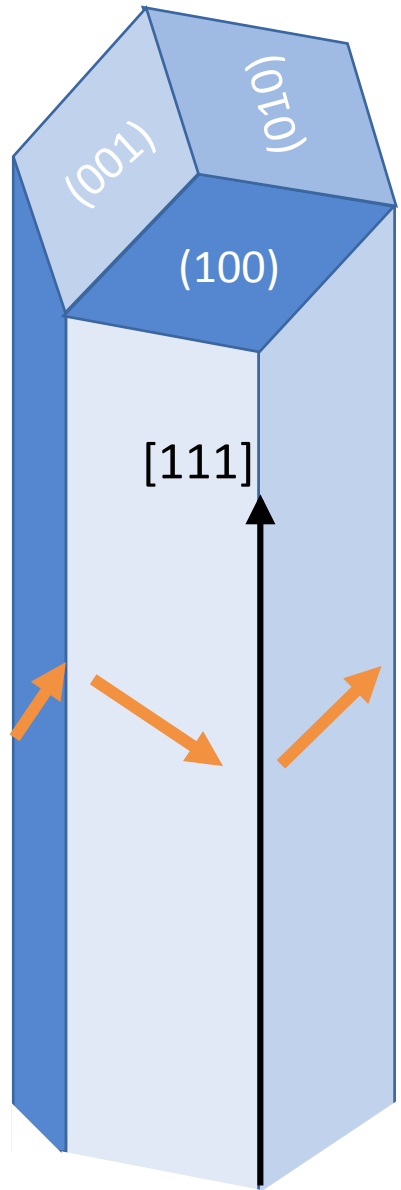
(a)



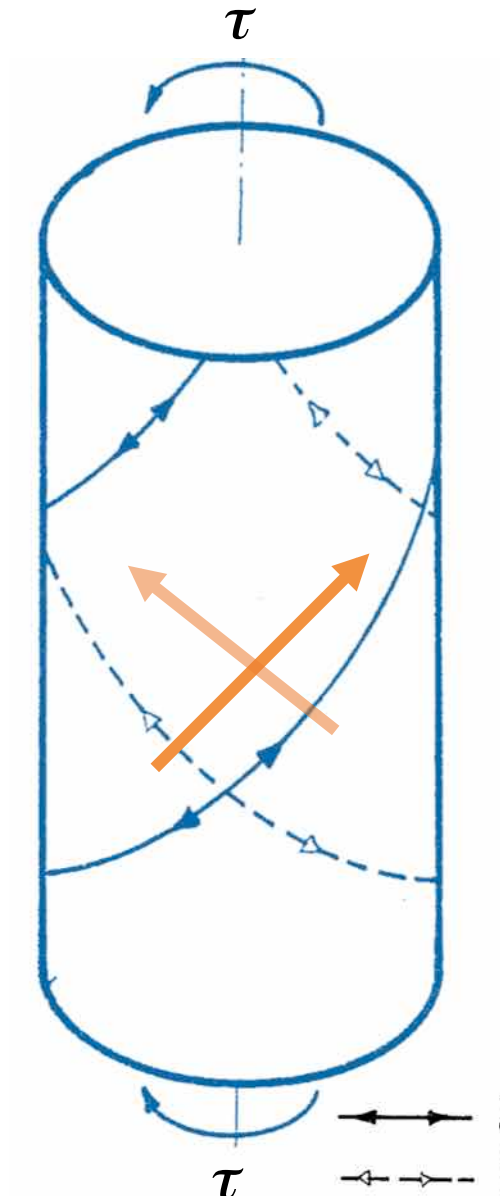
(b)



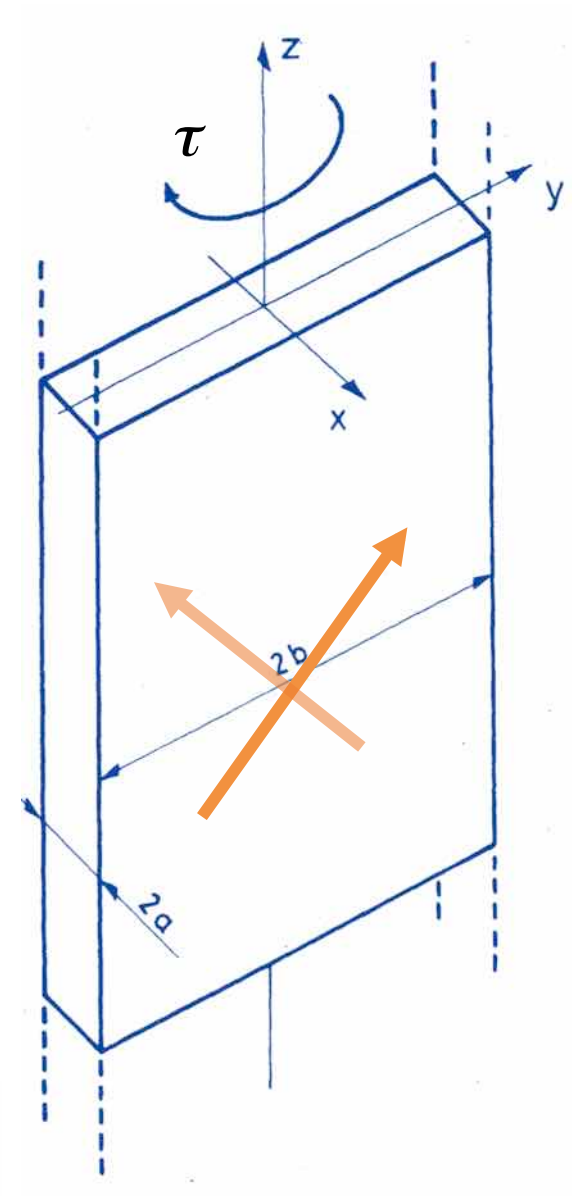
(c)



Whisker [111]



Hilo policristalino



Cinta amorfa

Micromagnetics of twisted amorphous ribbons

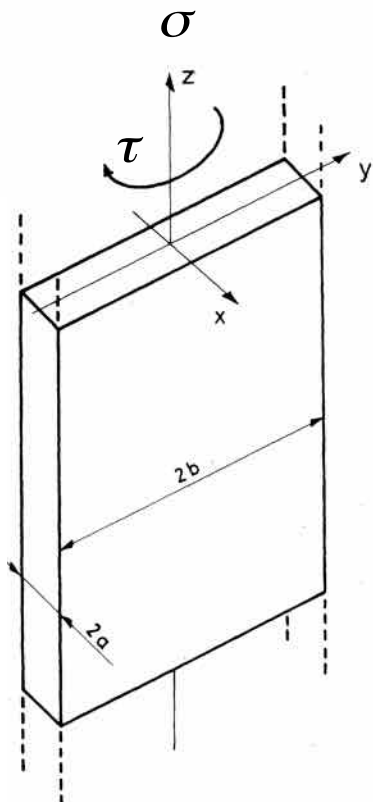
A. Hernando

Laboratory of Magnetism, University Complutense, Madrid, Spain

J. M. Barandiarán*

Laboratory of Magnetism, University of Navarra, San Sebastián, Spain

(Received 7 November 1978)



$$t = T/S = 2\tau/\sigma$$

$$M_r = \left(\frac{M_s}{\sqrt{2}t} \right) \left[(1 + t^2 - (1 + t^2)^{1/2})^{1/2} - \frac{1}{2} \ln \{ 2(1 + t^2)^{1/2} - 2[1 + t^2 - (1 + t^2)^{1/2}]^{1/2} - 1 \} \right]$$

$$M_s \int_0^1 \sin \theta dx = \left(\frac{M_s}{\sqrt{2}t} \right) \left[(1 + t^2 + (1 + t^2)^{1/2})^{1/2} - \ln \{ [1 + (1 + t^2)^{1/2}]^{1/2} + (1 + t^2)^{1/4} \} - 0.533 \right]$$

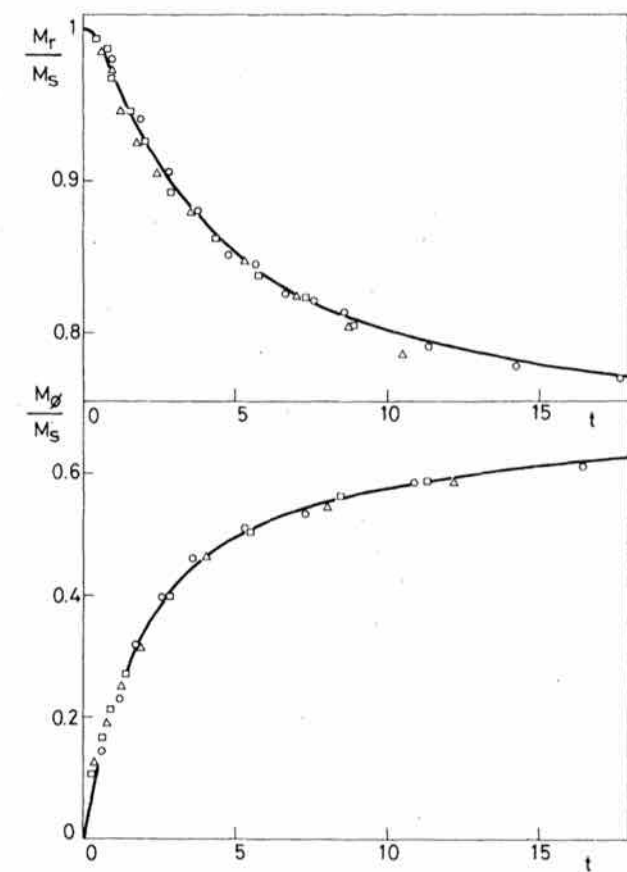


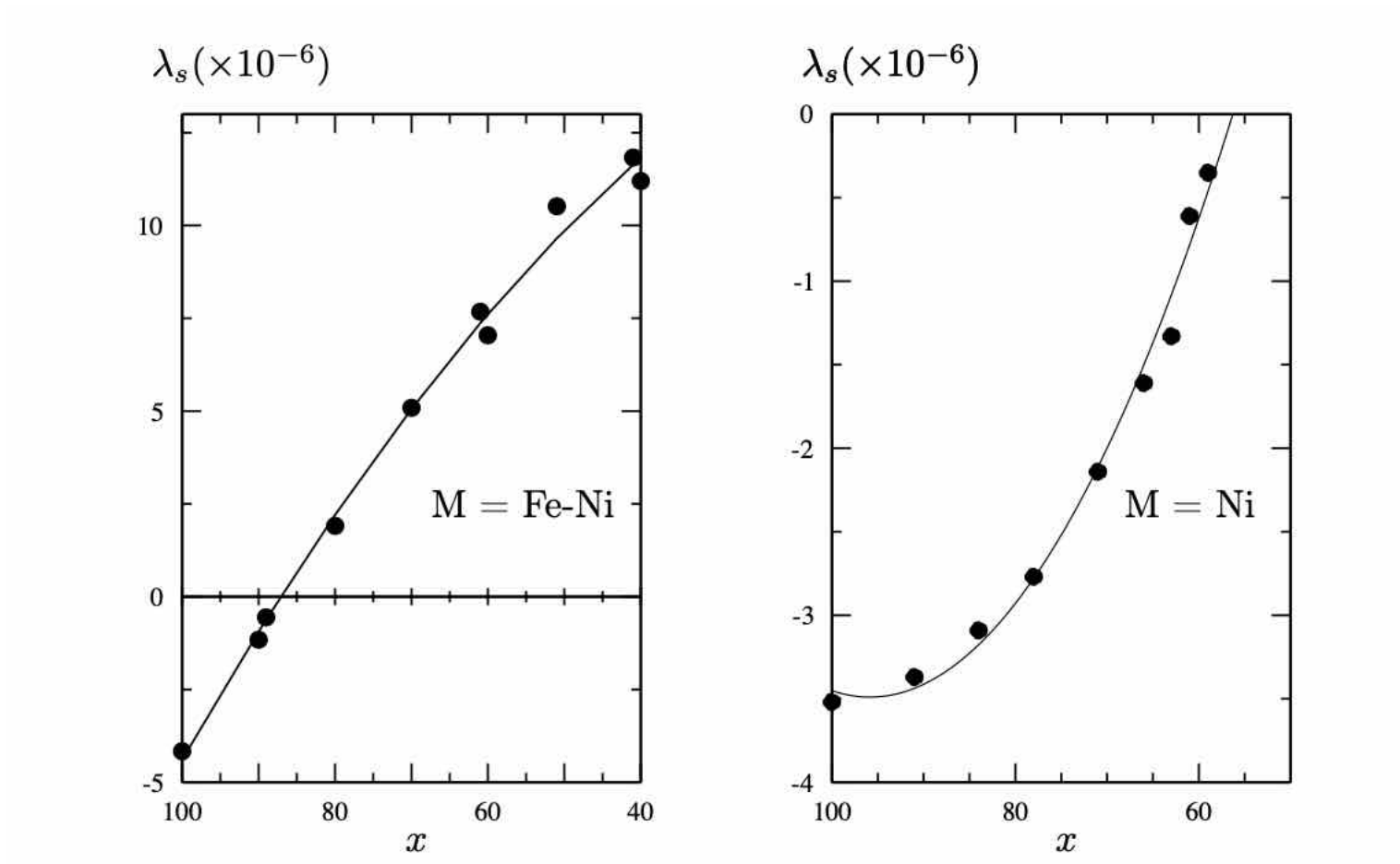
FIG. 5. Remanence of the longitudinal magnetization (upper), and Matteucci effect (lower) as a function of the applied torsion, for different values of the tension stress. (○) 8, (Δ) 16, (□) 24 N mm⁻². Full lines are given by expressions (15) and (16).

Lyngby, Dinamarca, 1984 (DTH)

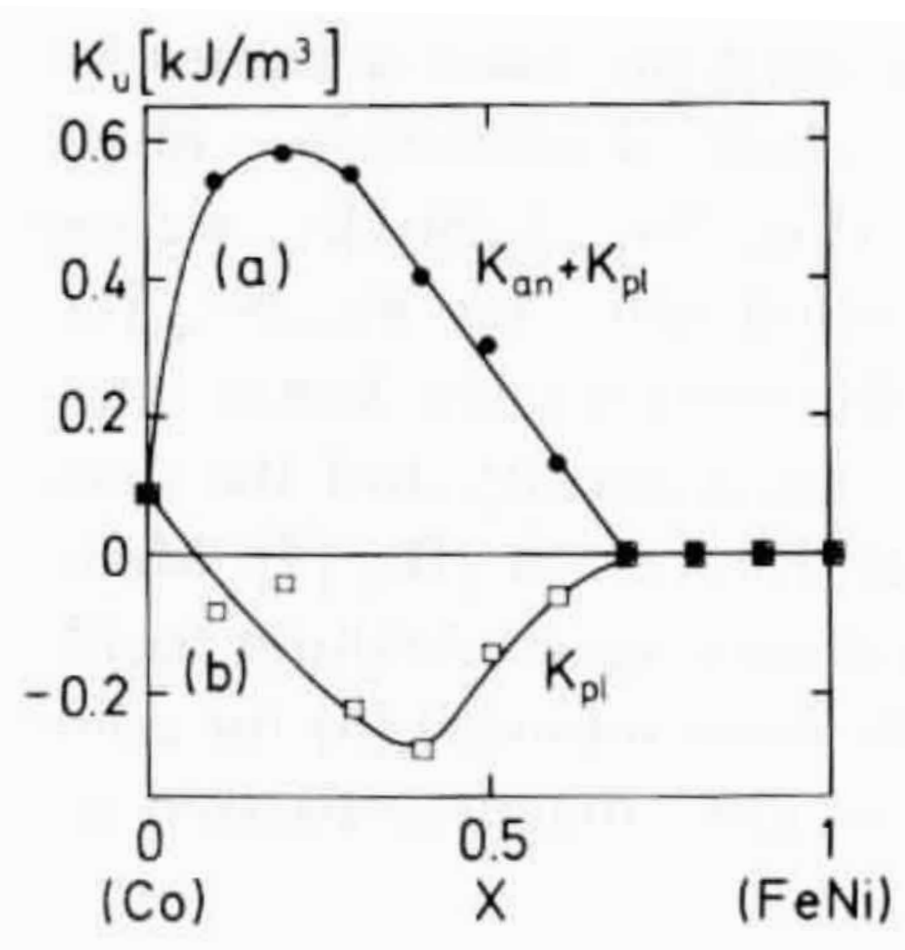
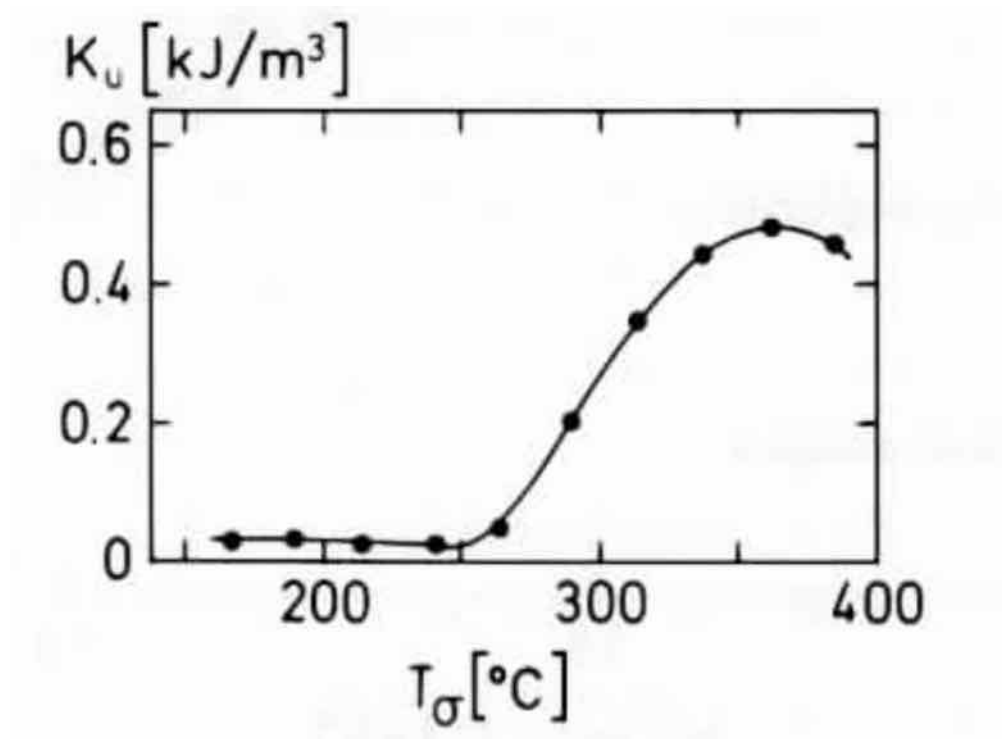


OV Nielsen

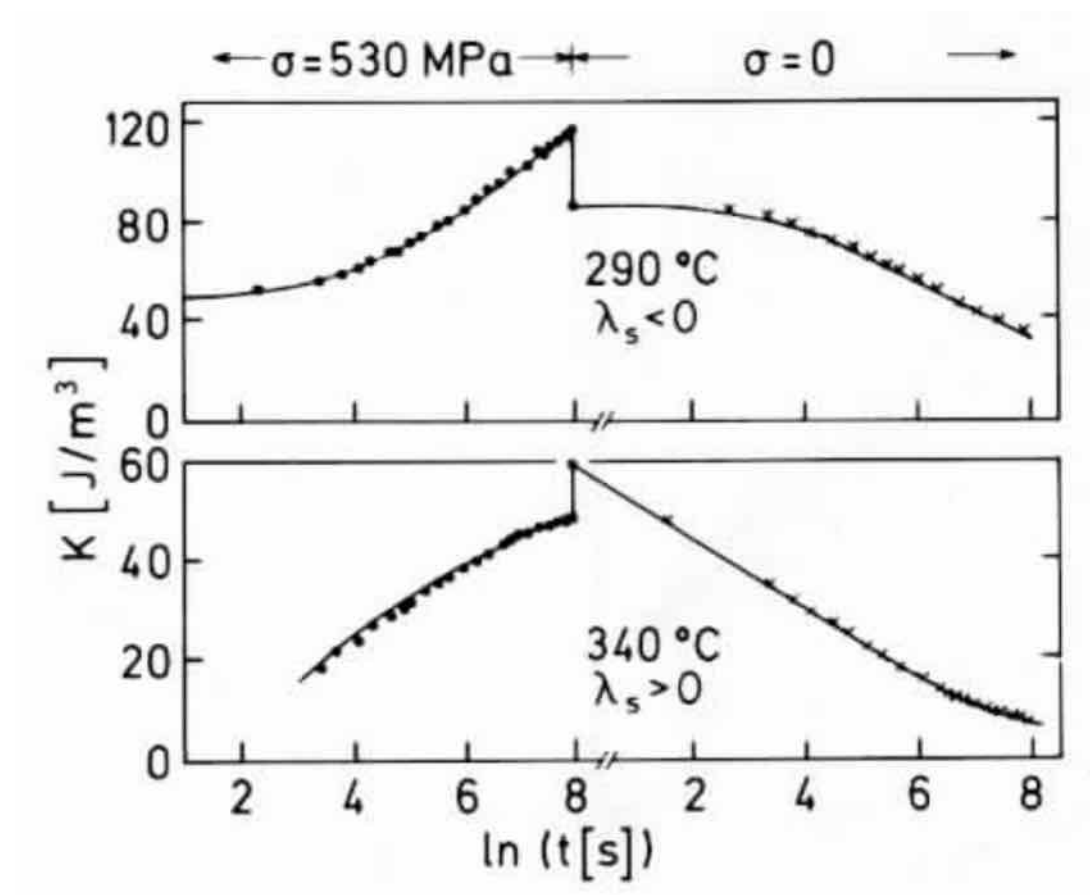
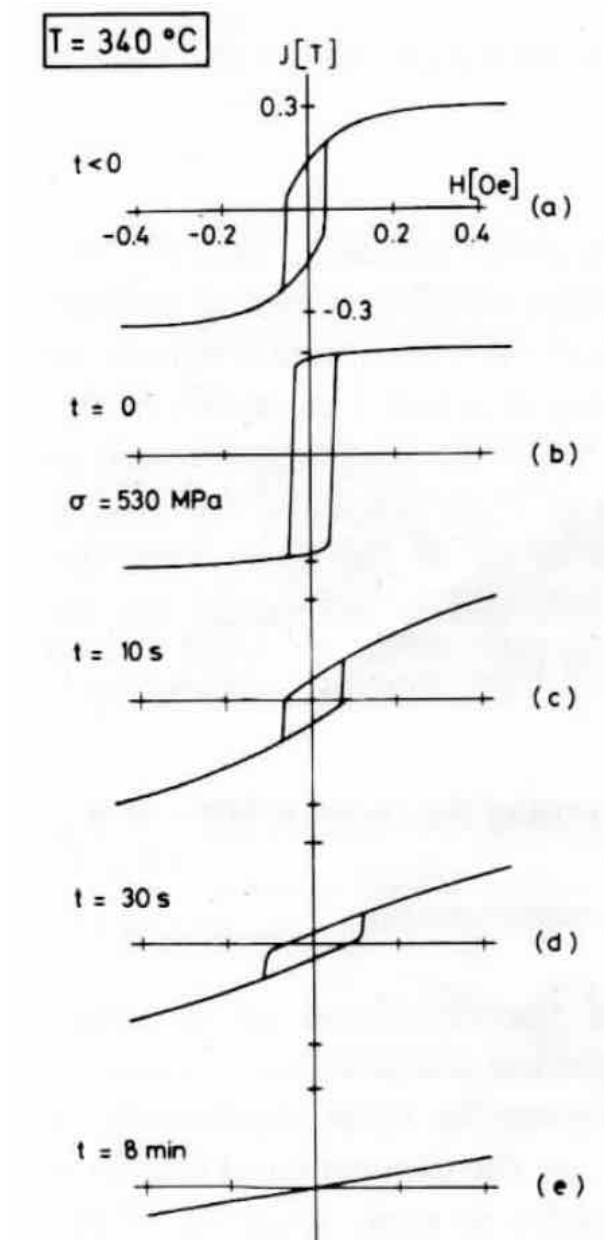
Magnetostricción de aleaciones amorfas $(\text{Co}_{100-x}\text{M}_x)_{75}\text{Si}_{15}\text{B}_{10}$



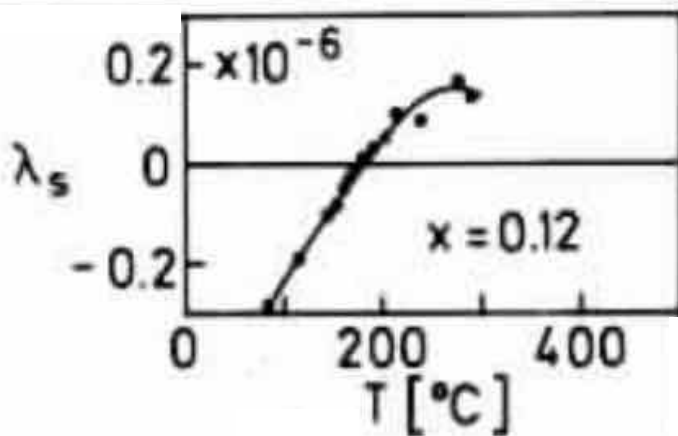
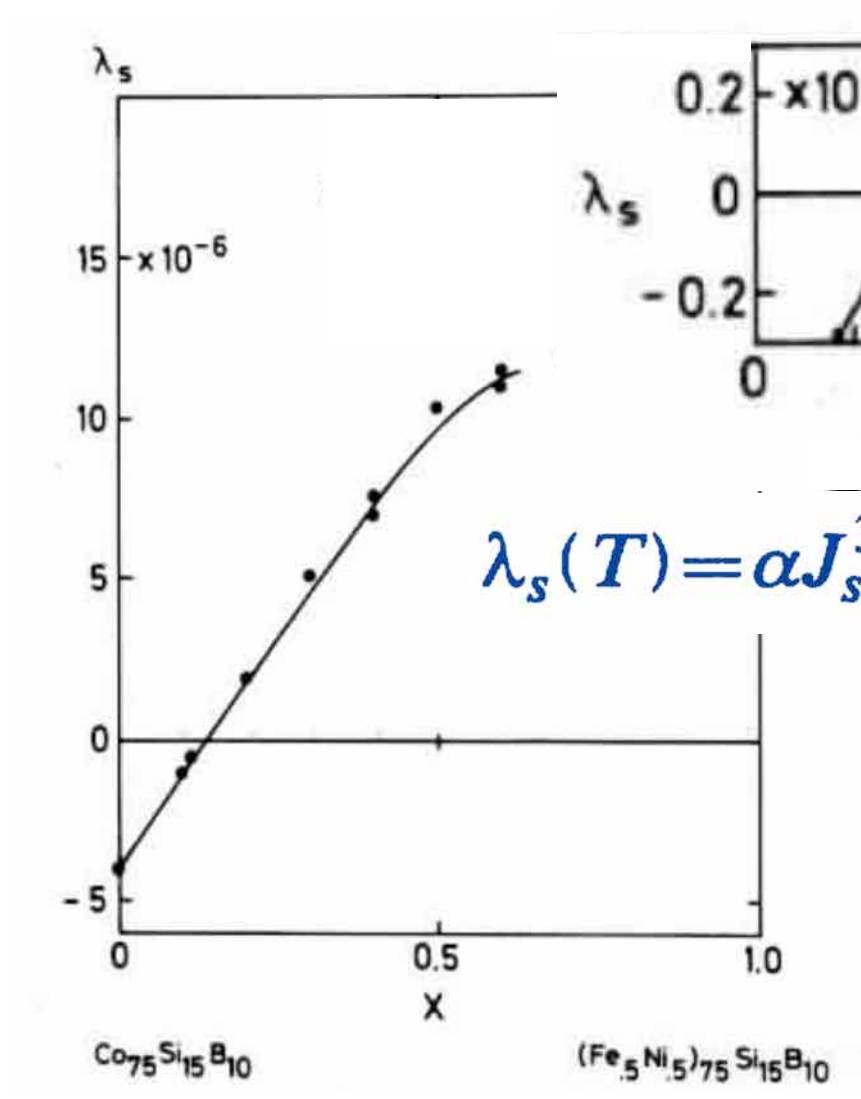
Anisotropía inducida por tensión en aleaciones amorfas



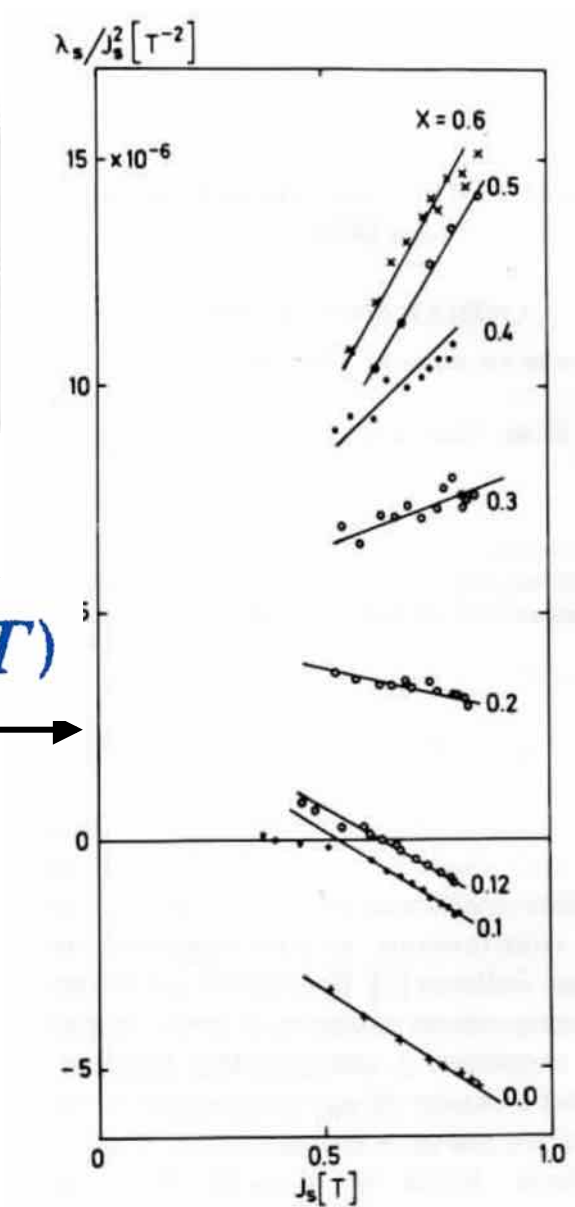
Anisotropía inducida por tensión en aleaciones amorfas



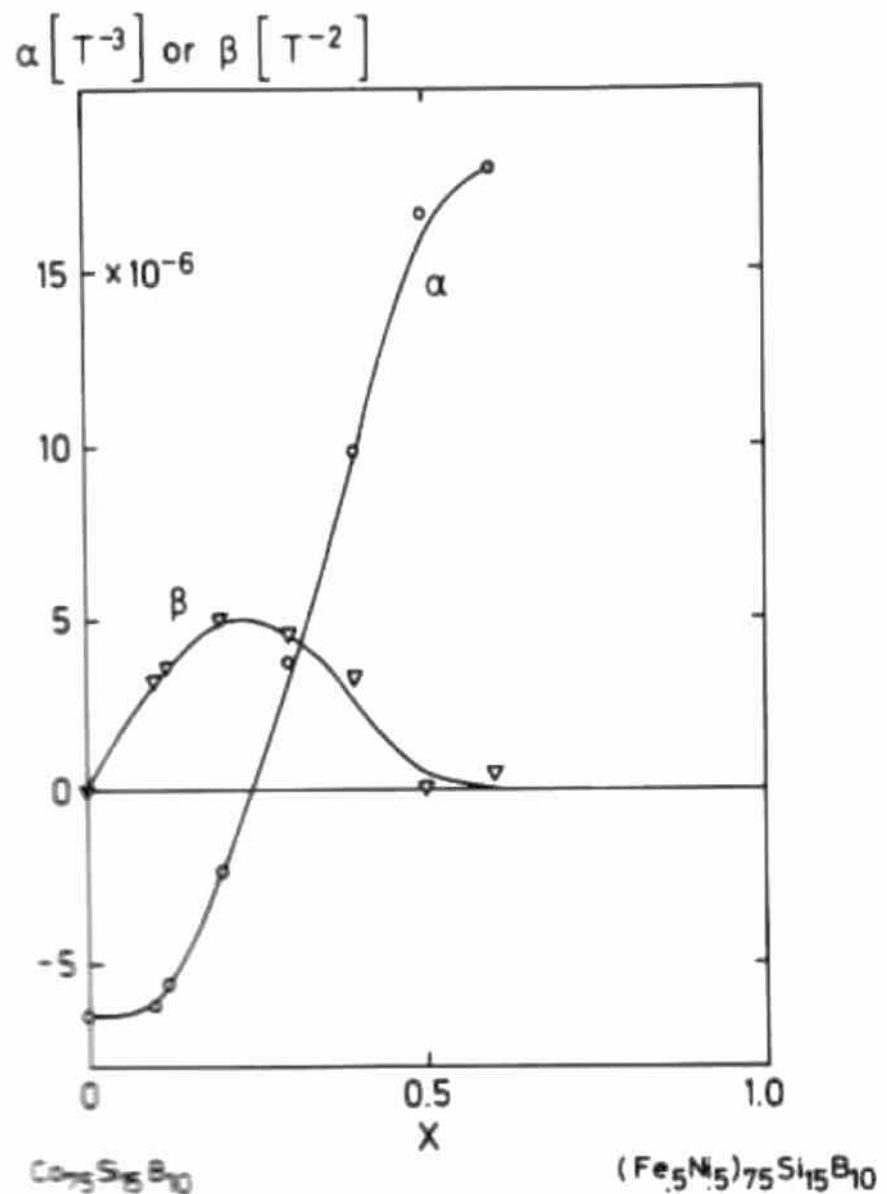
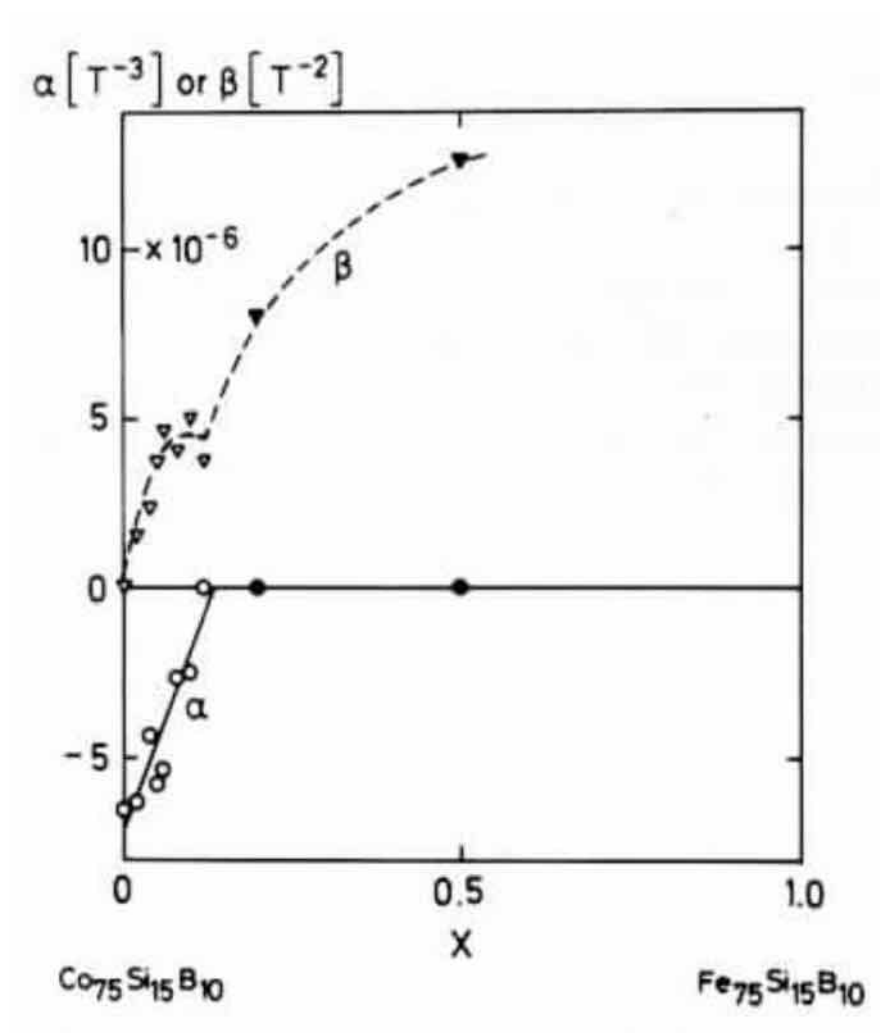
Magnetostricción de aleaciones amorfas $(Co_{100-x}M_x)_{75}Si_{15}B_{10}$



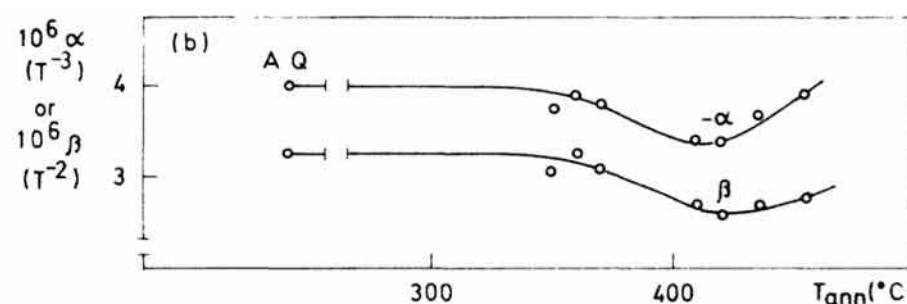
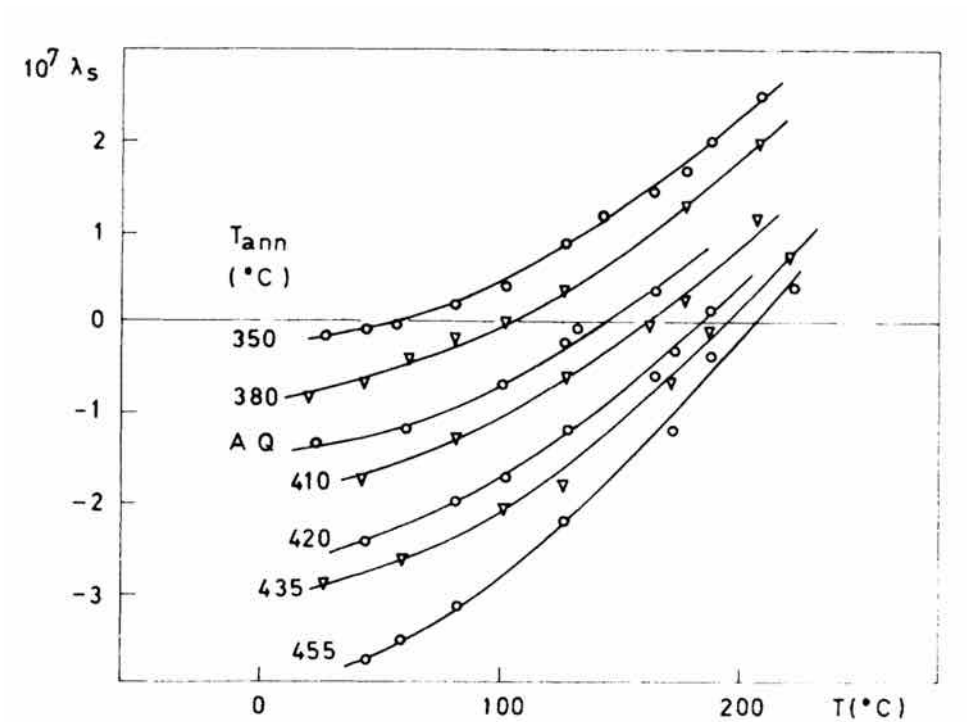
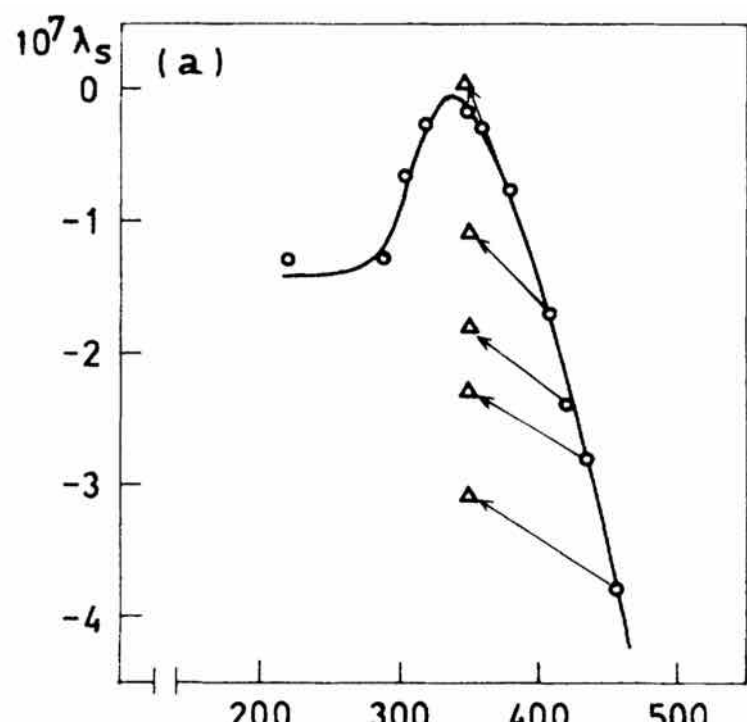
$$\lambda_s(T) = \alpha J_s^3(T) + \beta J_s^2(T)$$



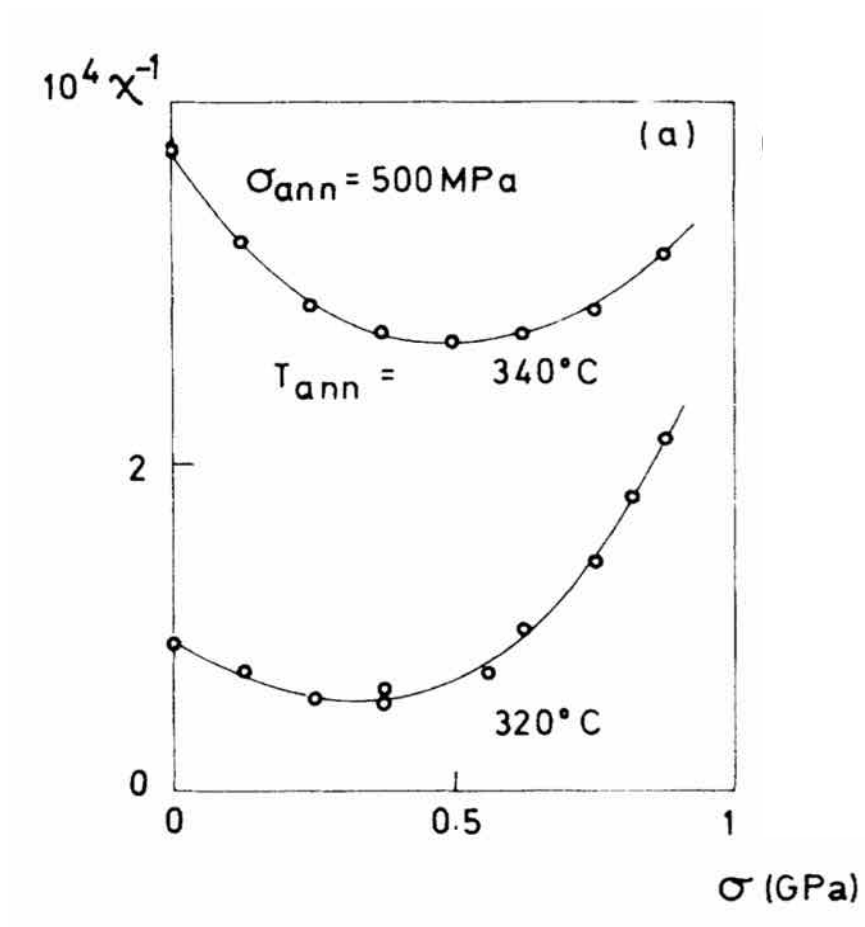
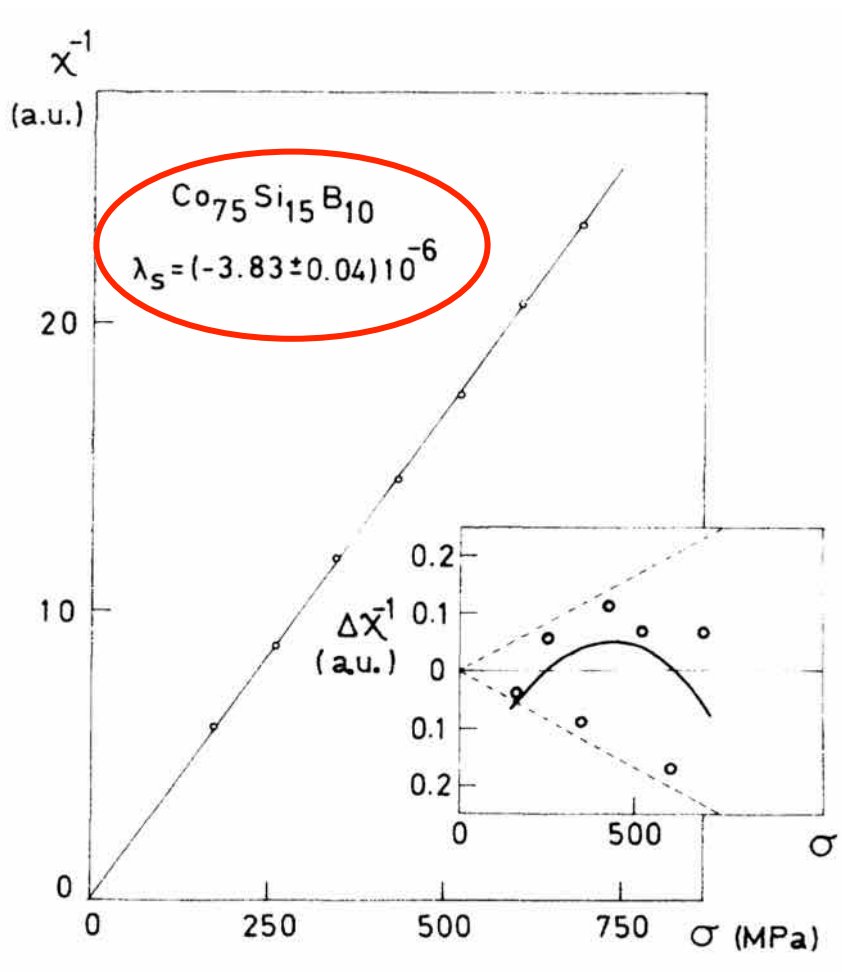
Magnetostricción de aleaciones amorfas $(Co_{100-x}M_x)_{75}Si_{15}B_{10}$



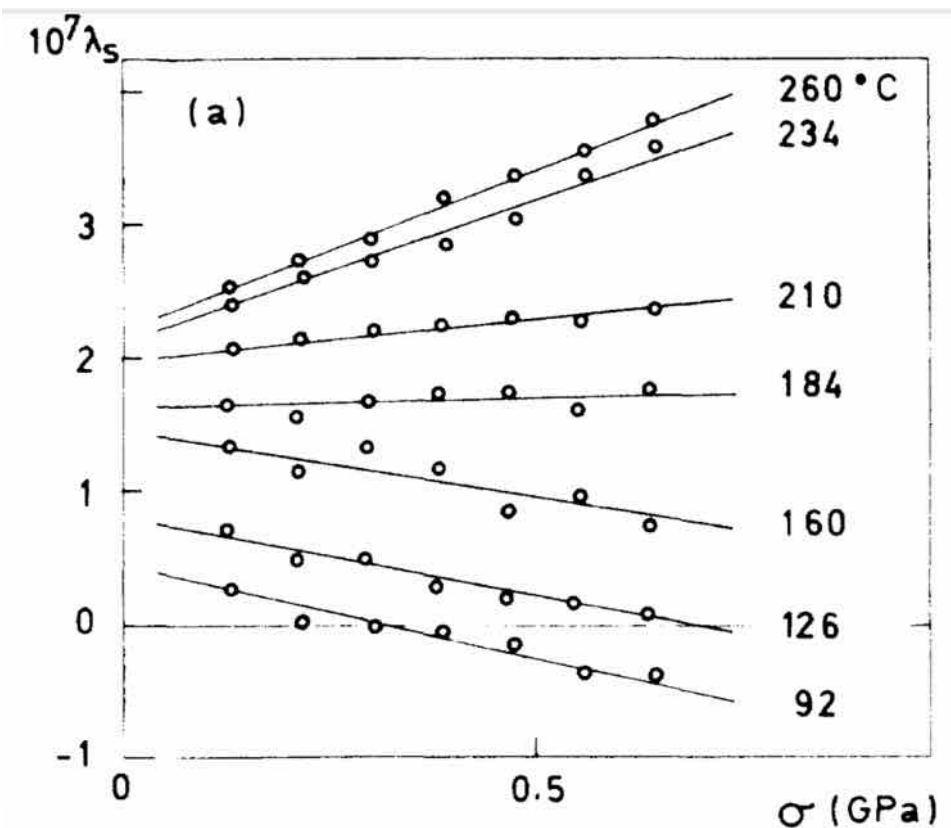
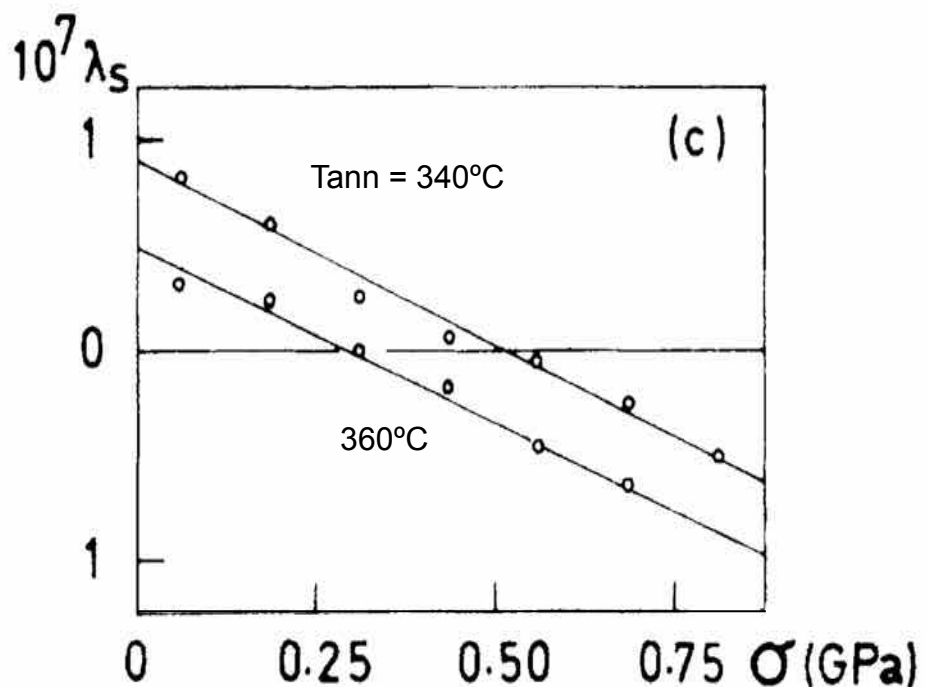
**Temperature, stress, and structural-relaxation dependence of the magnetostriction
in $(Co_{0.94}Fe_{0.06})_{75}Si_{15}B_{10}$ glasses**



Temperature, stress, and structural-relaxation dependence of the magnetostriction in $(\text{Co}_{0.94}\text{Fe}_{0.06})_{75}\text{Si}_{15}\text{B}_{10}$ glasses



Temperature, stress, and structural-relaxation dependence of the magnetostriction
in $(\text{Co}_{0.94}\text{Fe}_{0.06})_{75}\text{Si}_{15}\text{B}_{10}$ glasses



$$\lambda_s(\sigma) = \lambda_0 + \gamma \cdot \sigma$$

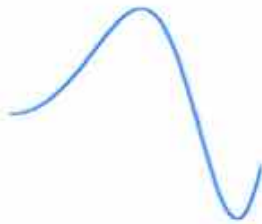
$$\gamma \approx 1-2 \times 10^{-7} \text{ GPa}^{-1}$$

Efecto “mórfico”

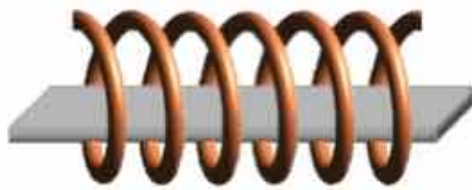
RESONANCIA MAGNETOELÁSTICA



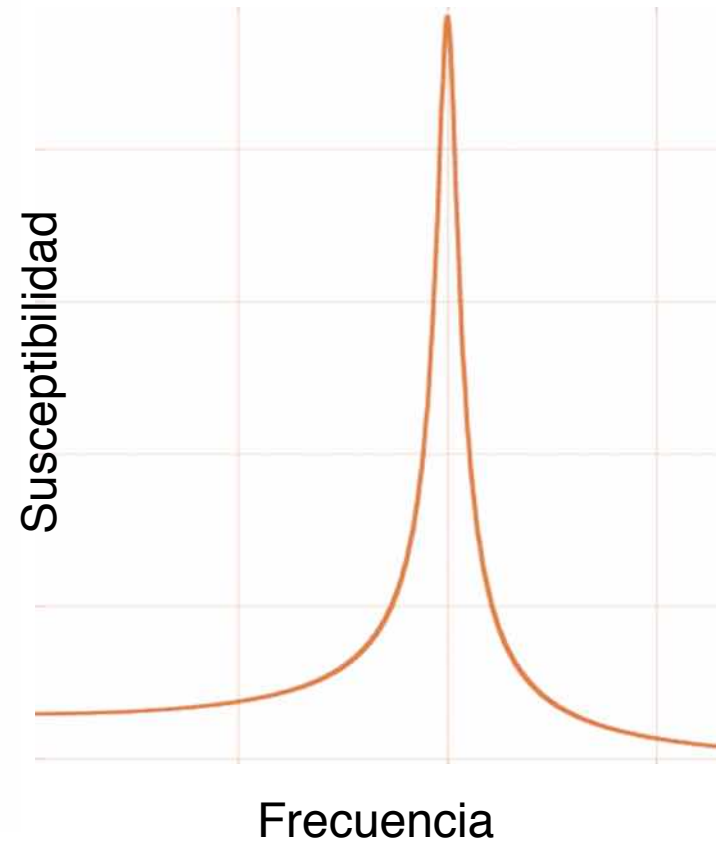
$$f_r = \frac{\sqrt{\square E}}{2L\rho}$$



Excitación

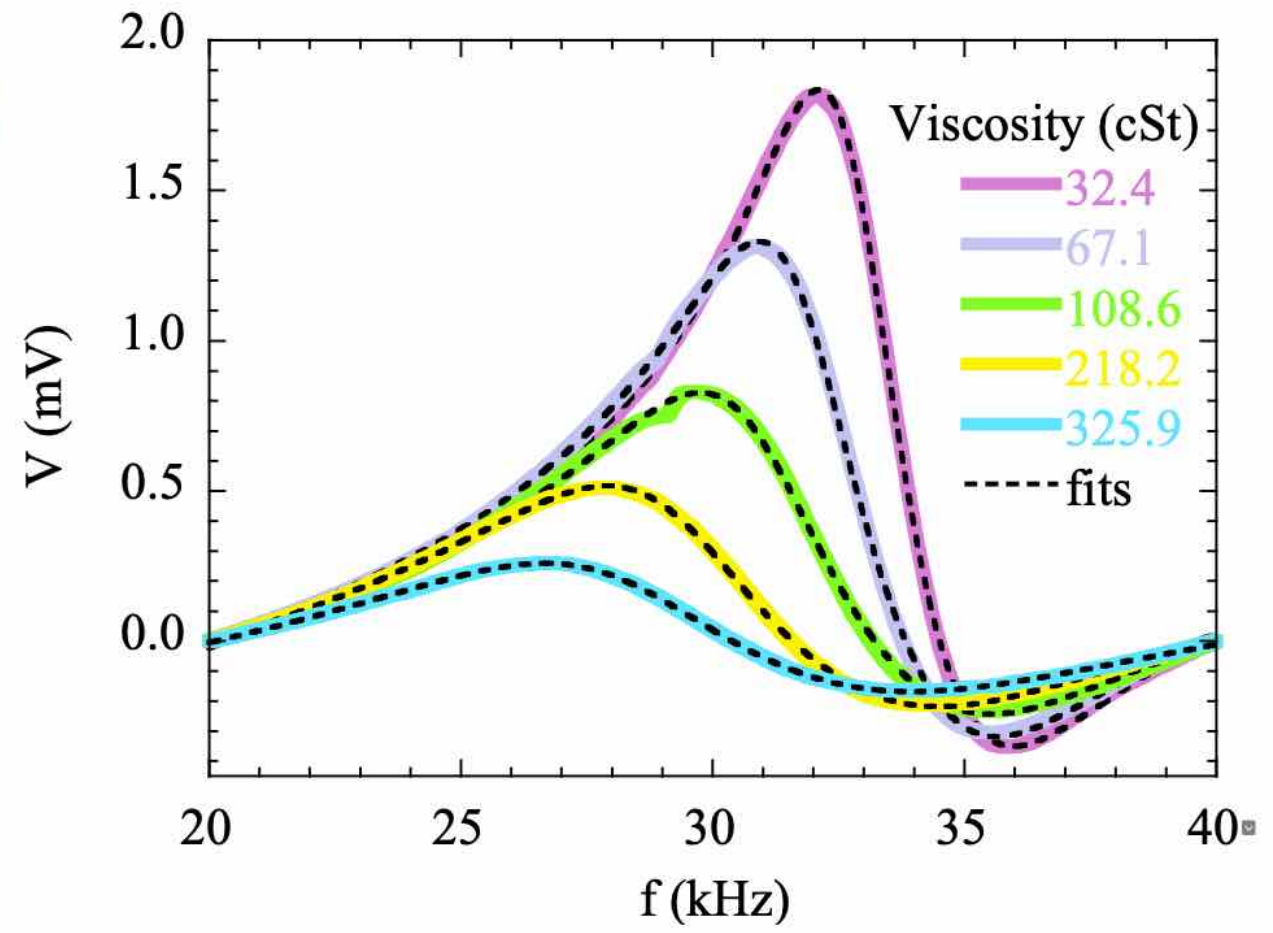


Vibración



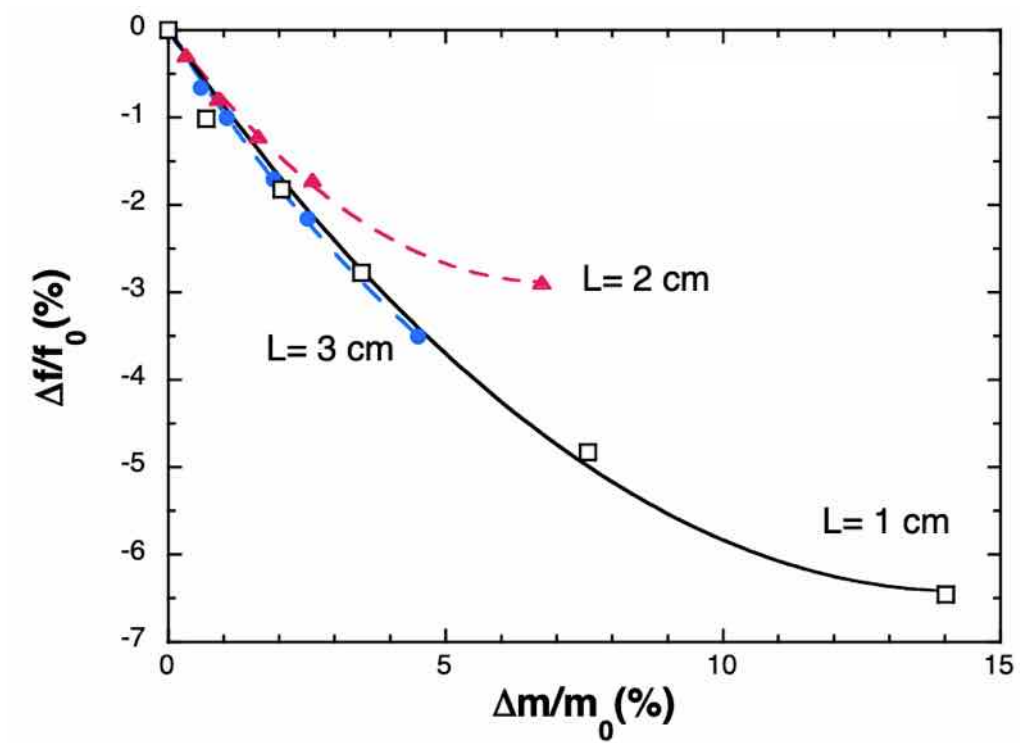
RESONANCIA MAGNETOELÁSTICA

Oil Viscosity Sensor



RESONANCIA MAGNETOELÁSTICA

Mass Sensor



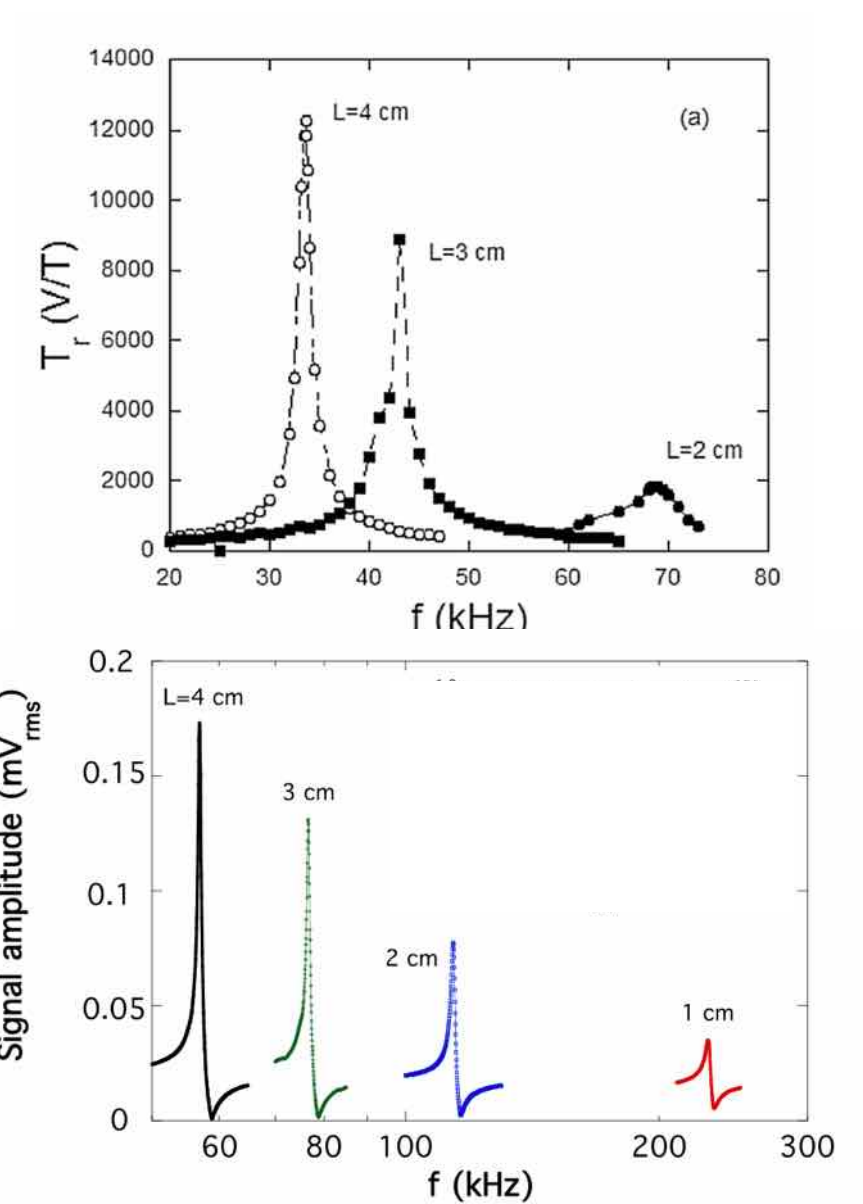
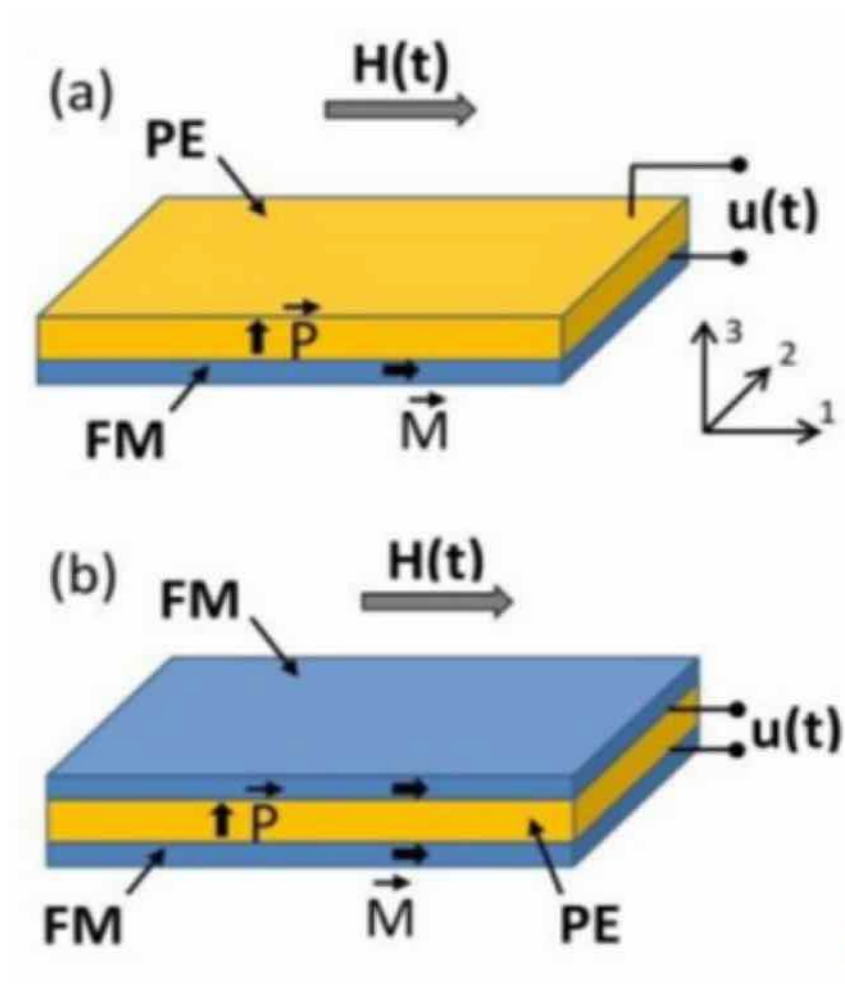
$$\frac{\Delta f}{f_0} \approx -a \left(\frac{\Delta m}{M} \right) + b \left(\frac{\Delta m}{M} \right)^2$$

$$\frac{f}{f_0} = \left[1 + \frac{\Delta m}{M} \right]^{-\frac{1}{2}}$$

$$\frac{\Delta f}{f_0} = -\frac{1}{2} \frac{\Delta m}{M}$$

TABLE II <i>a</i> AND <i>b</i> COEFFICIENTS-OBTAINED FROM THE FIT TO EQUATION (3)		
<i>L</i> (mm)	<i>a</i>	<i>b</i>
30	0.955	0.0488
20	0.841	0.0613
10	0.896	0.0046

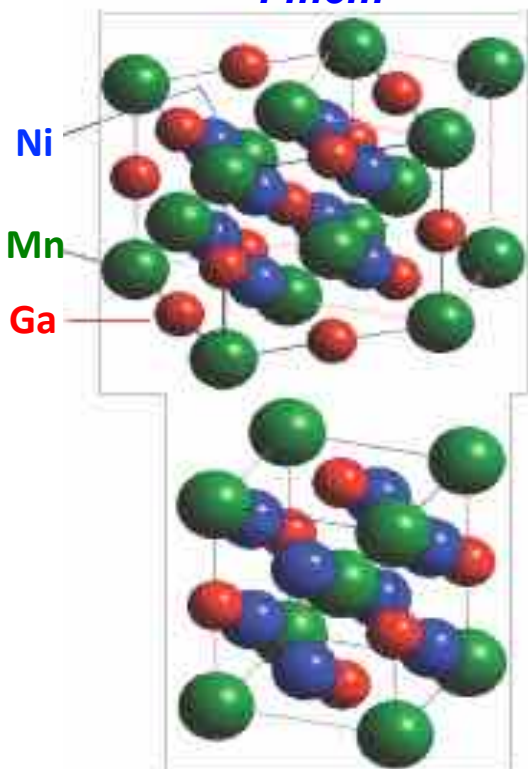
MATERIALES MAGNETOELÉCTRICOS



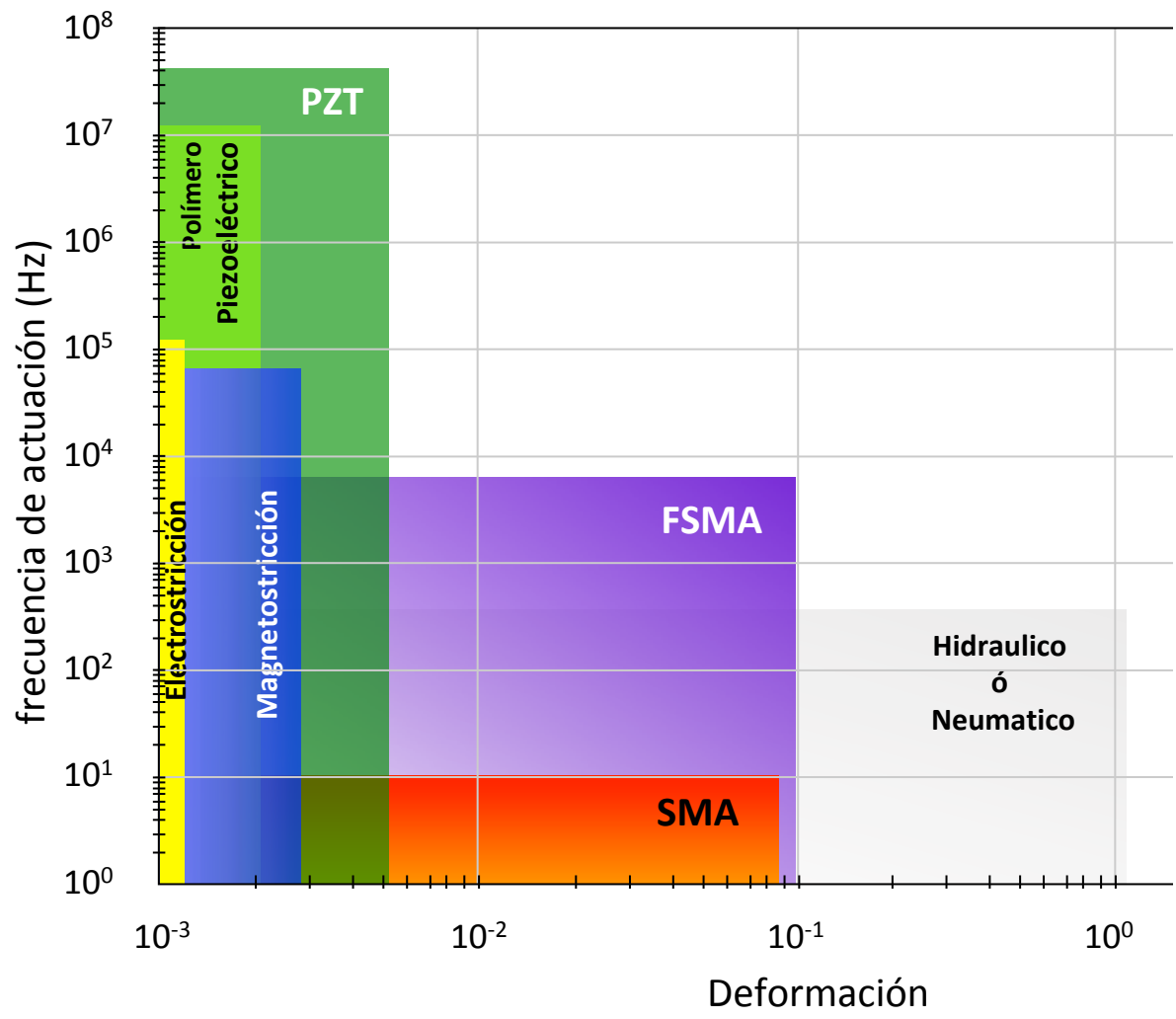
Cambridge MA, 2005 (MIT) FSMA, Bob O'Handley

Ni_2MnGa Estructura L₂₁ (Heusler)

Austenita
Fm3m



Martensita
I4/mmm



$\text{Ni}_{51.1}\text{Mn}_{24.9}\text{Ga}_{24.0}$ ($\approx \text{Ni}_2\text{MnGa}$) polycrystal

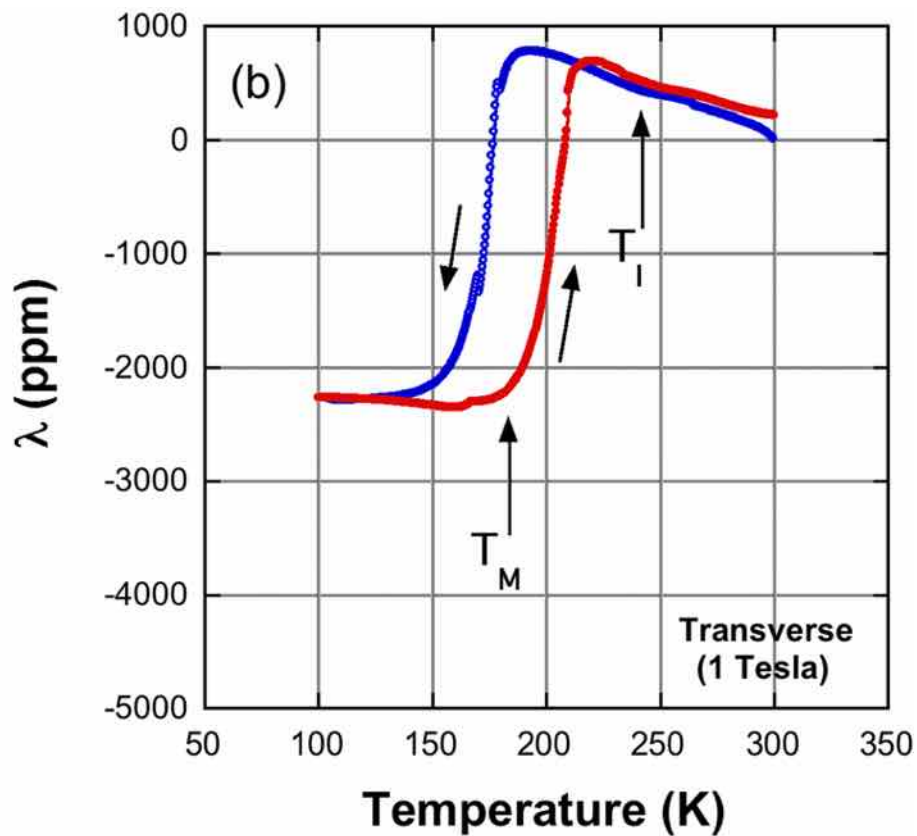
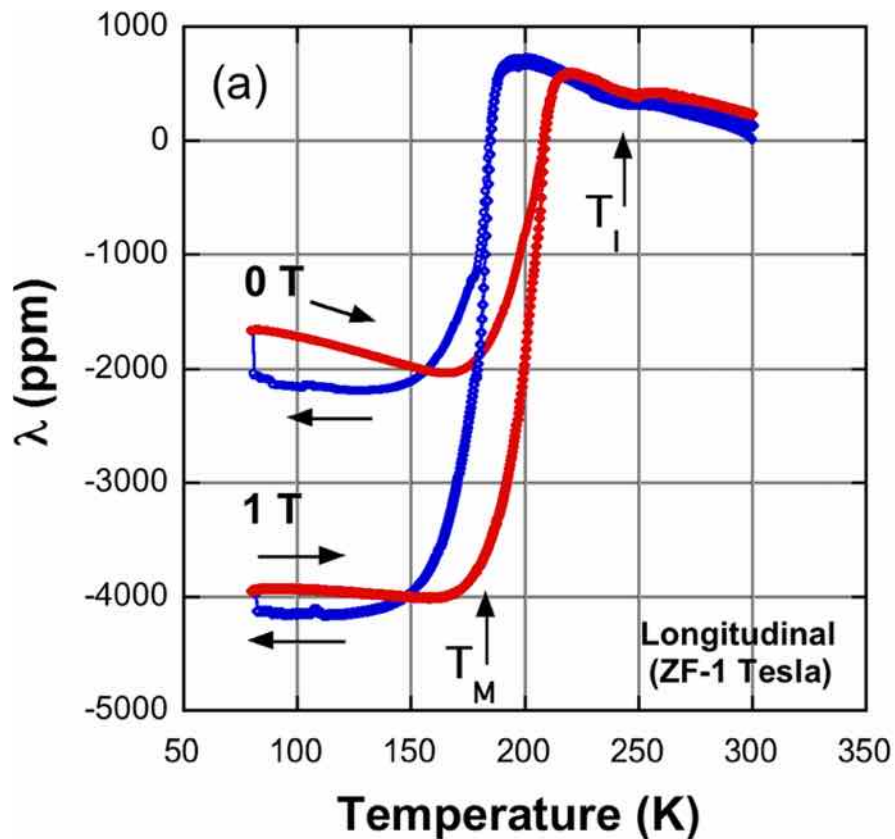


FIG. 1. Strain on cooling and heating under zero field and 1 T parallel or perpendicular to the measuring direction. The large contraction corresponds to the martensitic transformation.

$\text{Ni}_{51.1}\text{Mn}_{24.9}\text{Ga}_{24.0}$ ($\approx \text{Ni}_2\text{MnGa}$) polycrystal

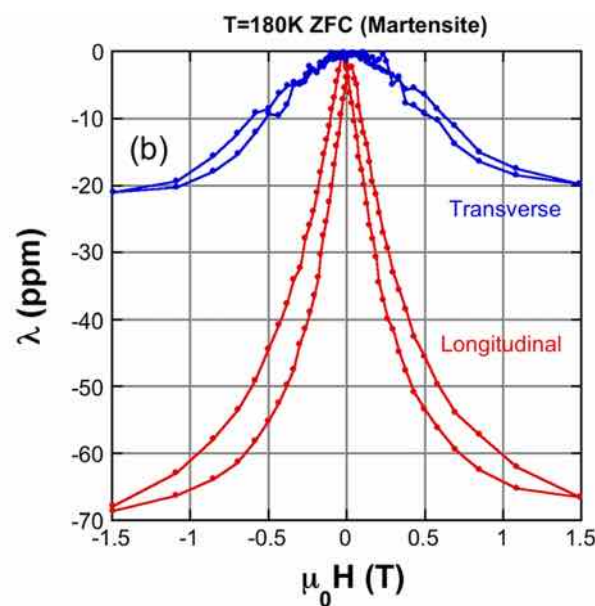
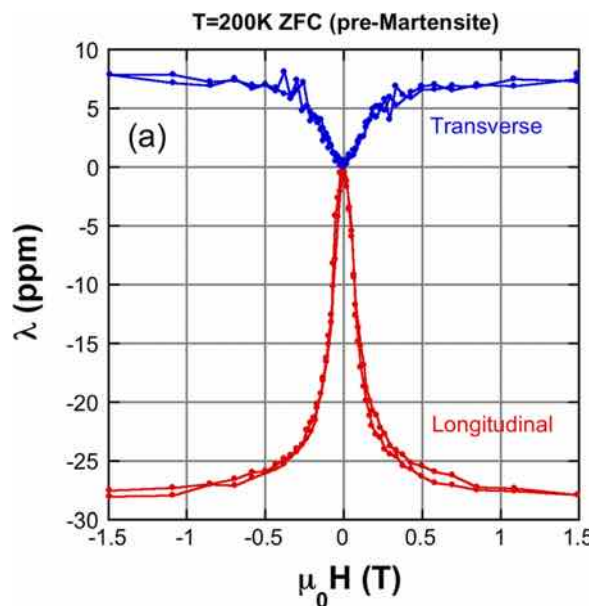


FIG. 3. Longitudinal and transverse magnetostriction measured at temperatures just above (a) and below (b) the martensitic transformation.

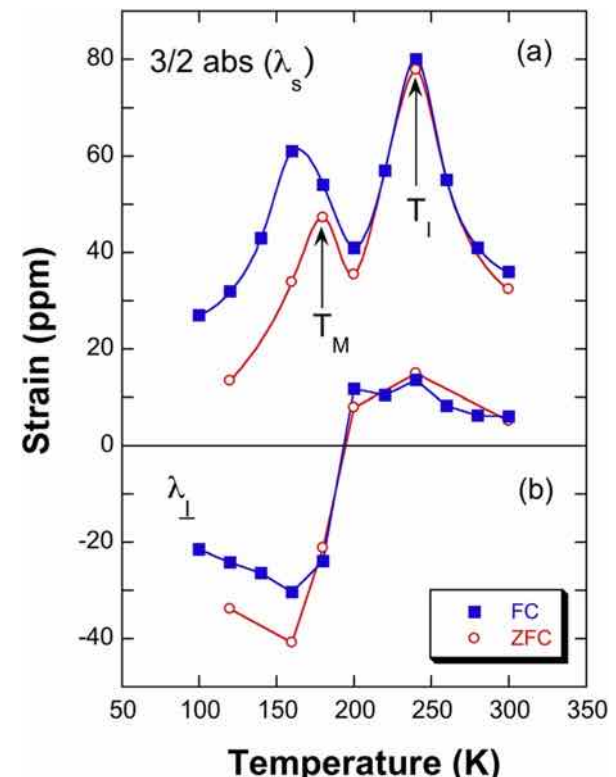
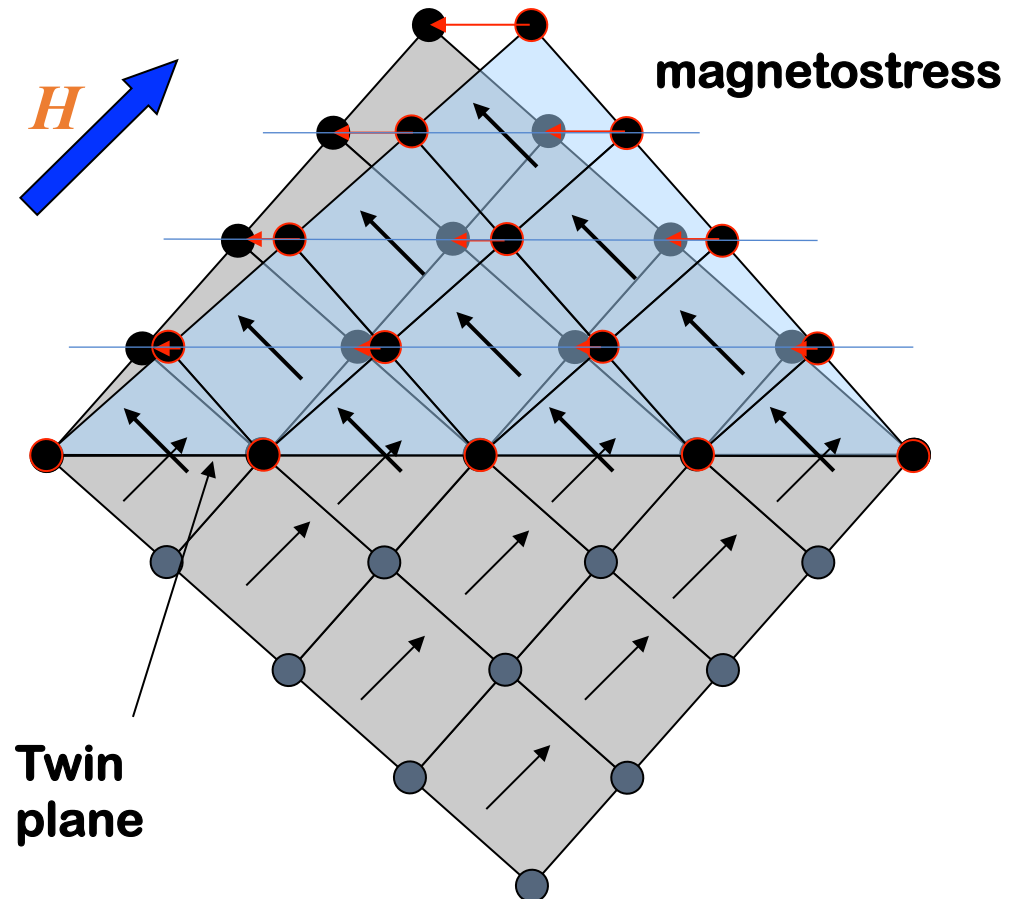
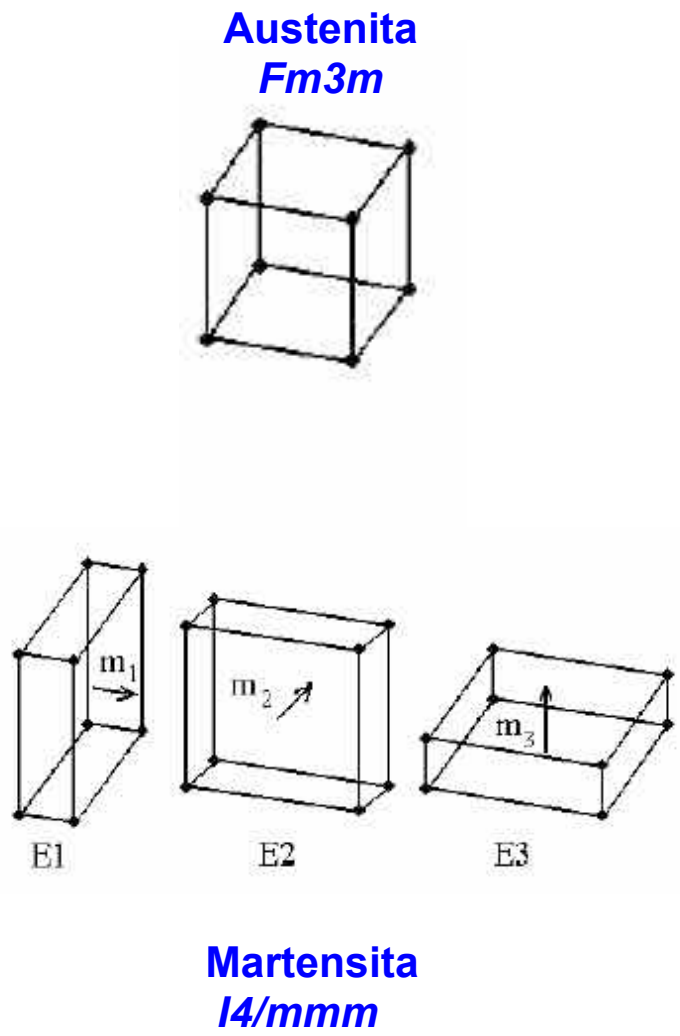
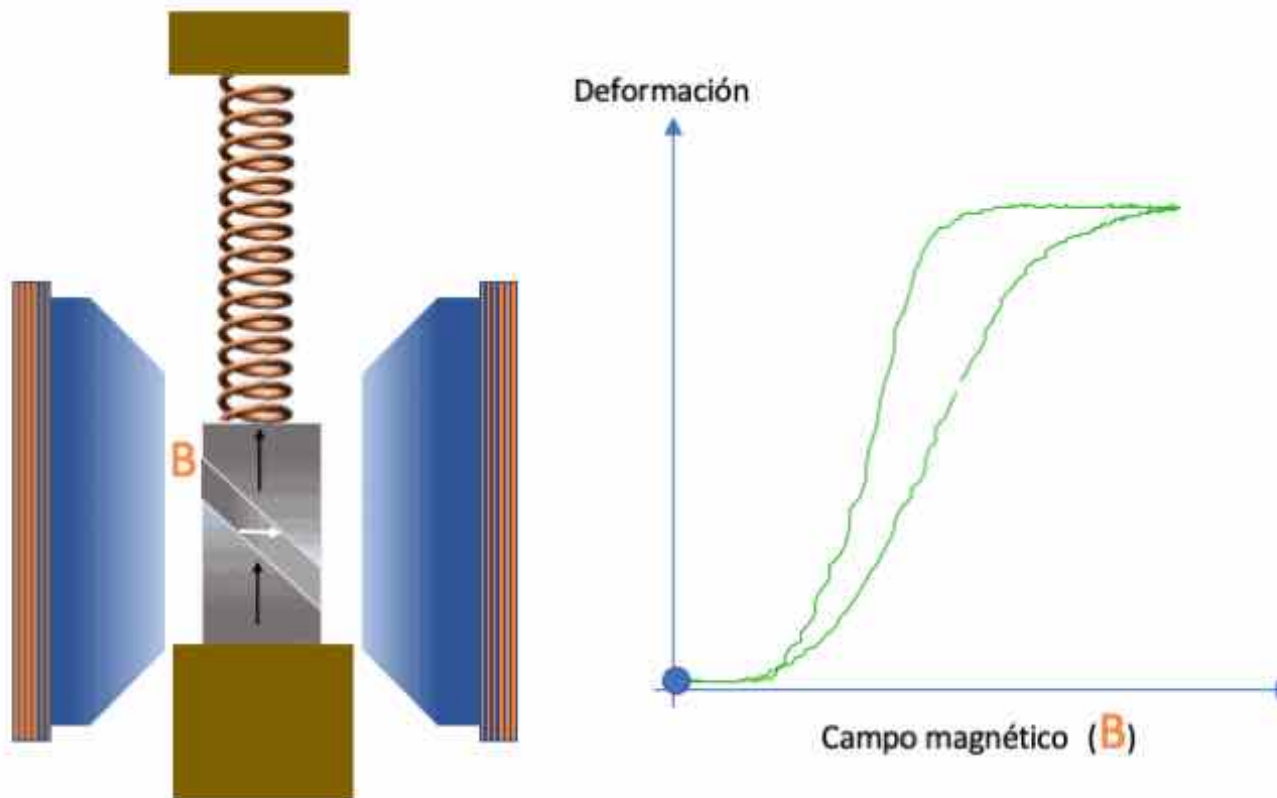


FIG. 4. (a) Saturation magnetostriction showing the large increase of their absolute value at the transitions. (b) Transverse magnetostriction values showing the change of sign at the martensitic transition.

Magnetic field induced twin-boundary motion



FSMA

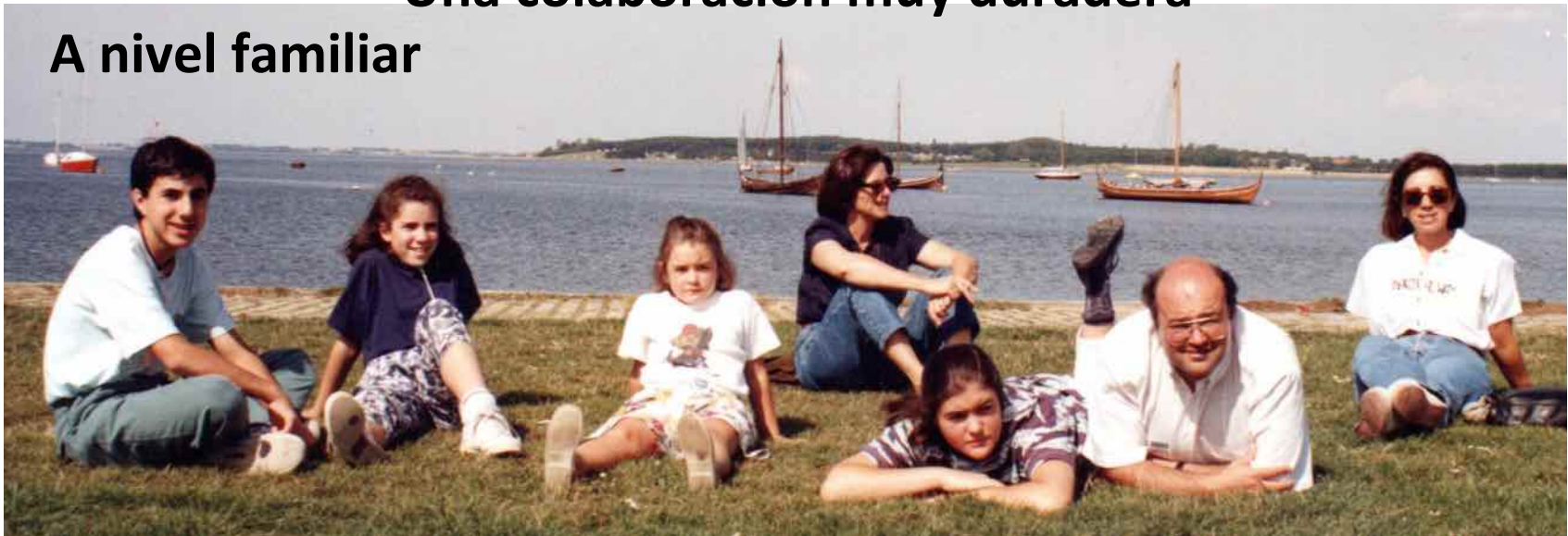


(1985...) GRENOBLE



Una colaboración muy duradera

A nivel familiar



y científico



NEUTRONES



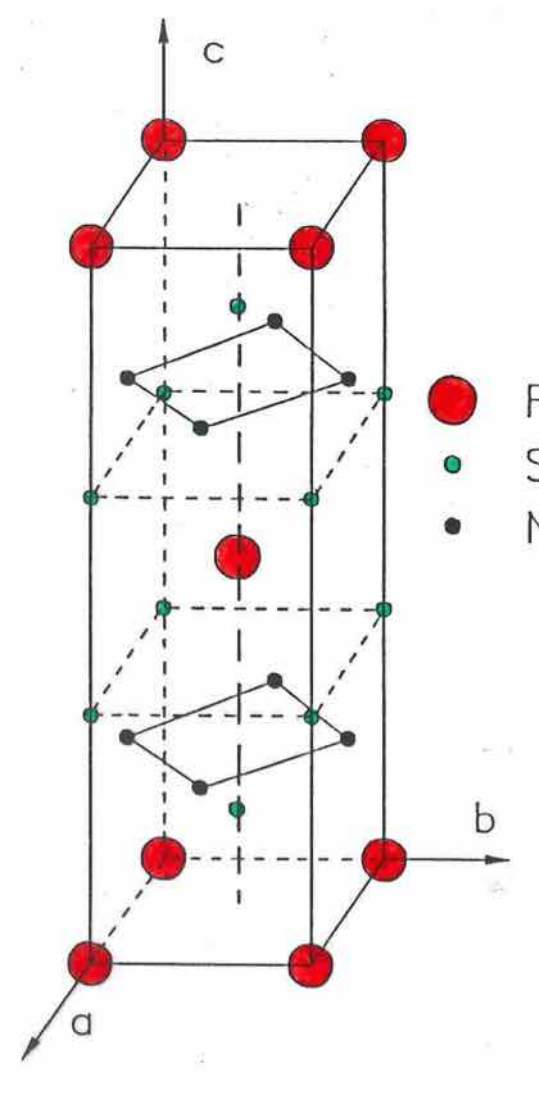
SILOÉ
(CEA)



ILL-1988

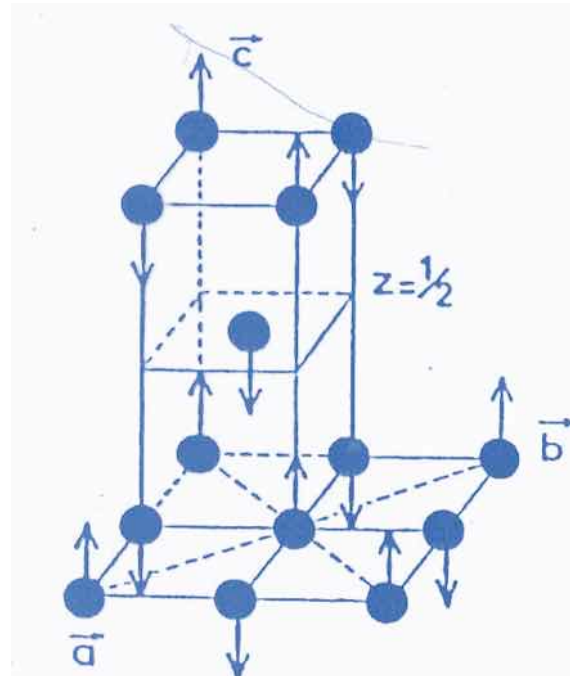


ESTRUCTURAS RNi_2Si_2



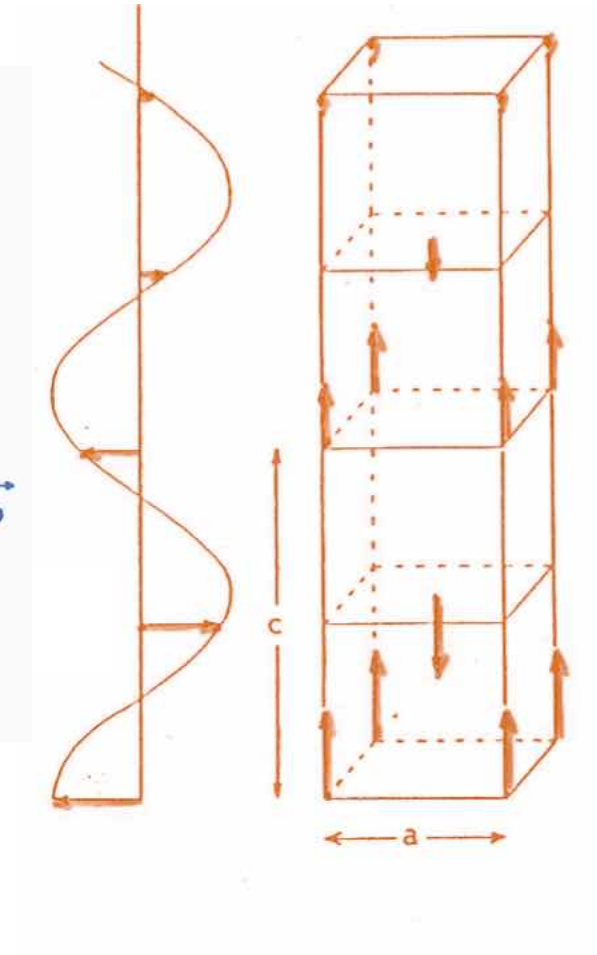
CRISTALINA

$TbNi_2Si_2$



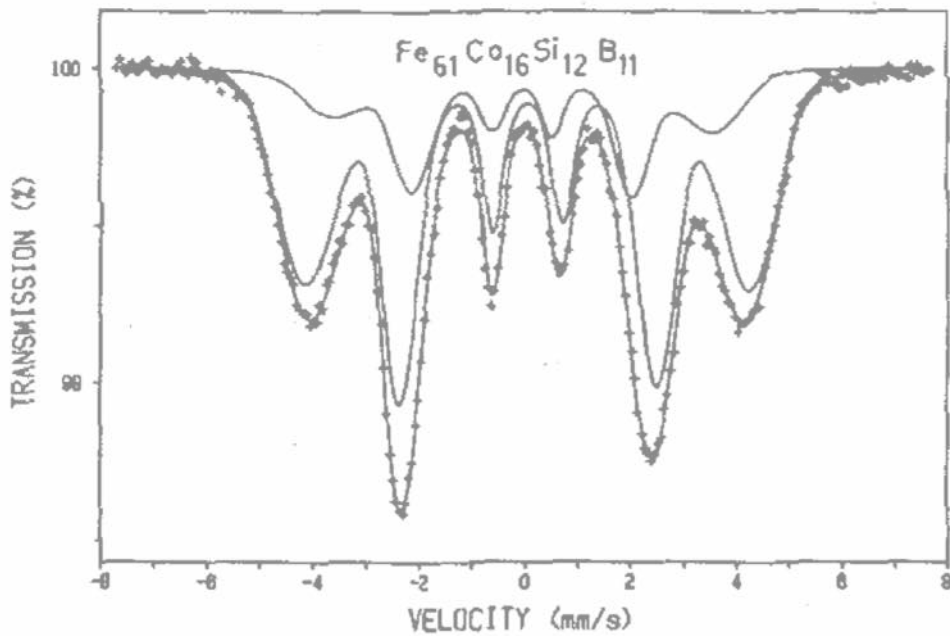
MAGNÉTICAS

$PrNi_2Si_2$

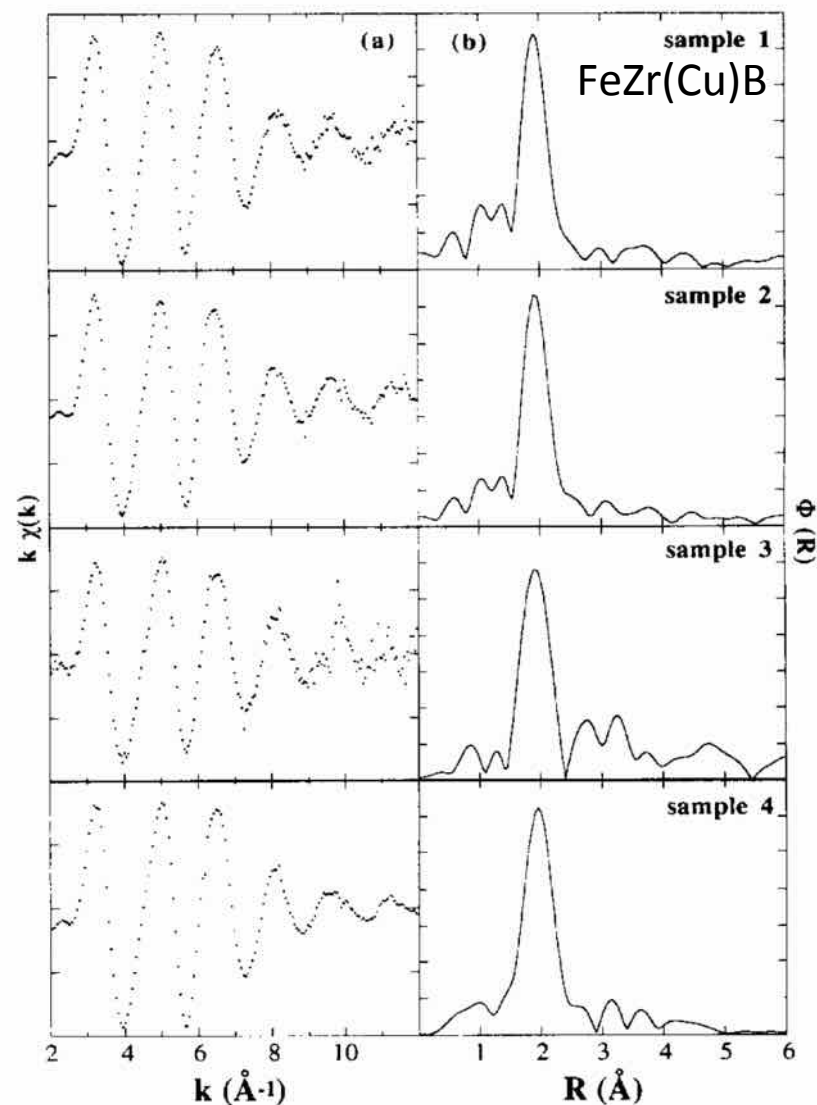


¿Neutrones en amorfos?

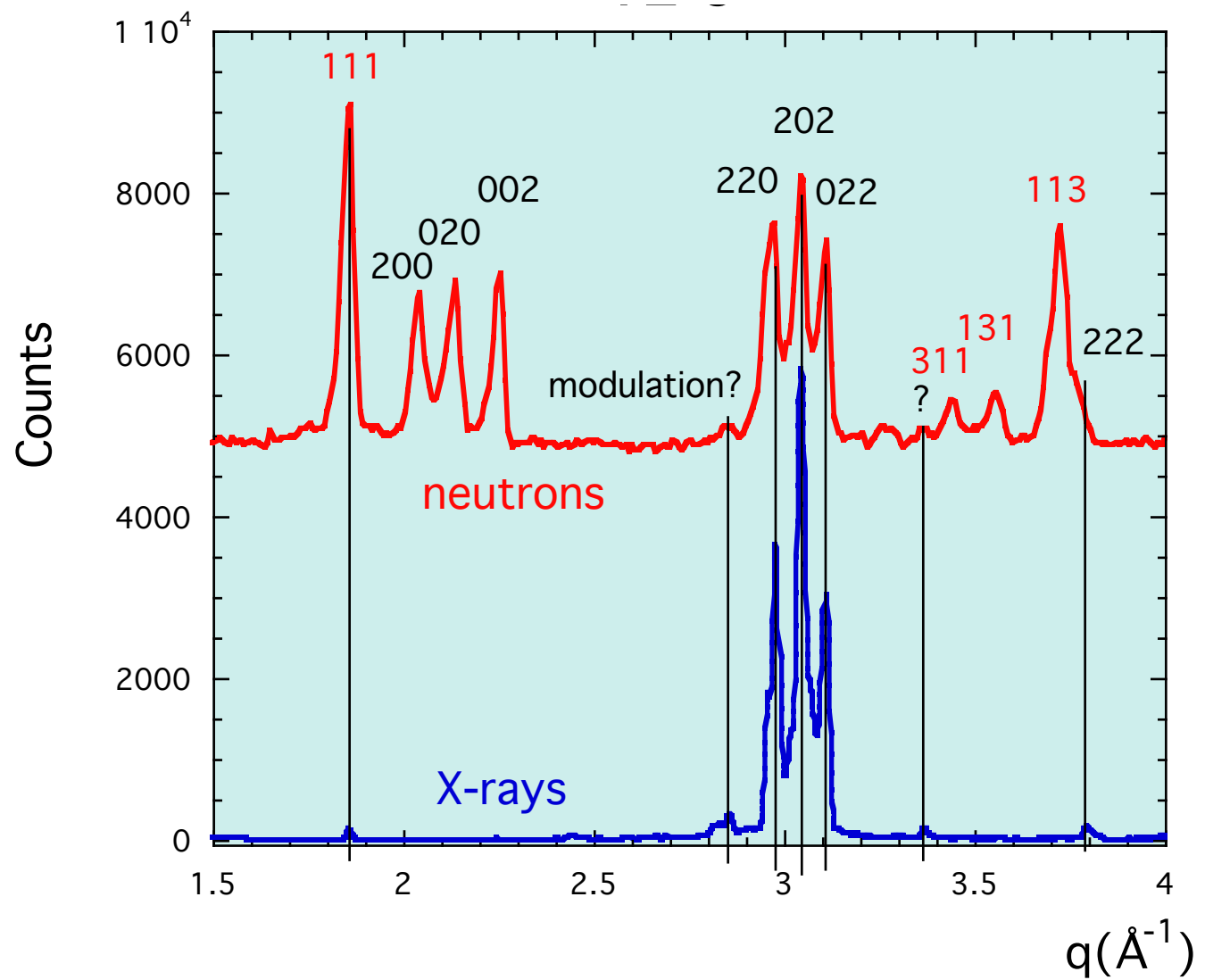
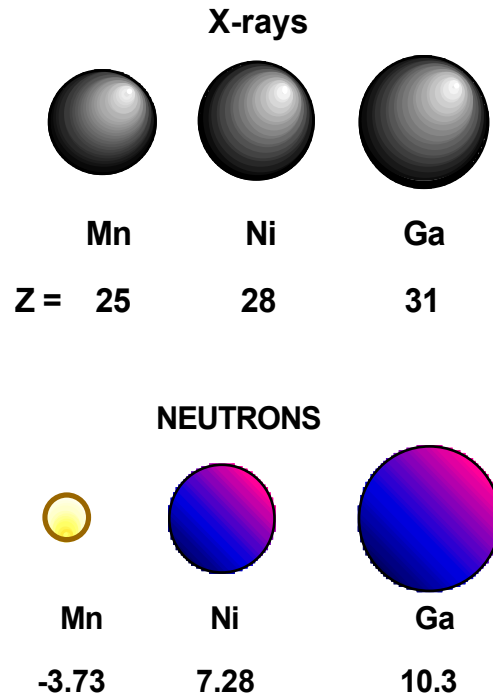
Mössbauer

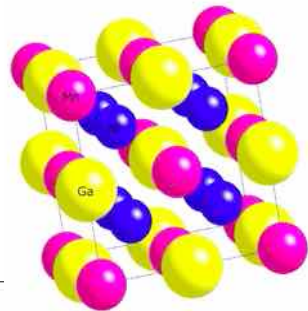


EXAFS



Neutrones en FSMA





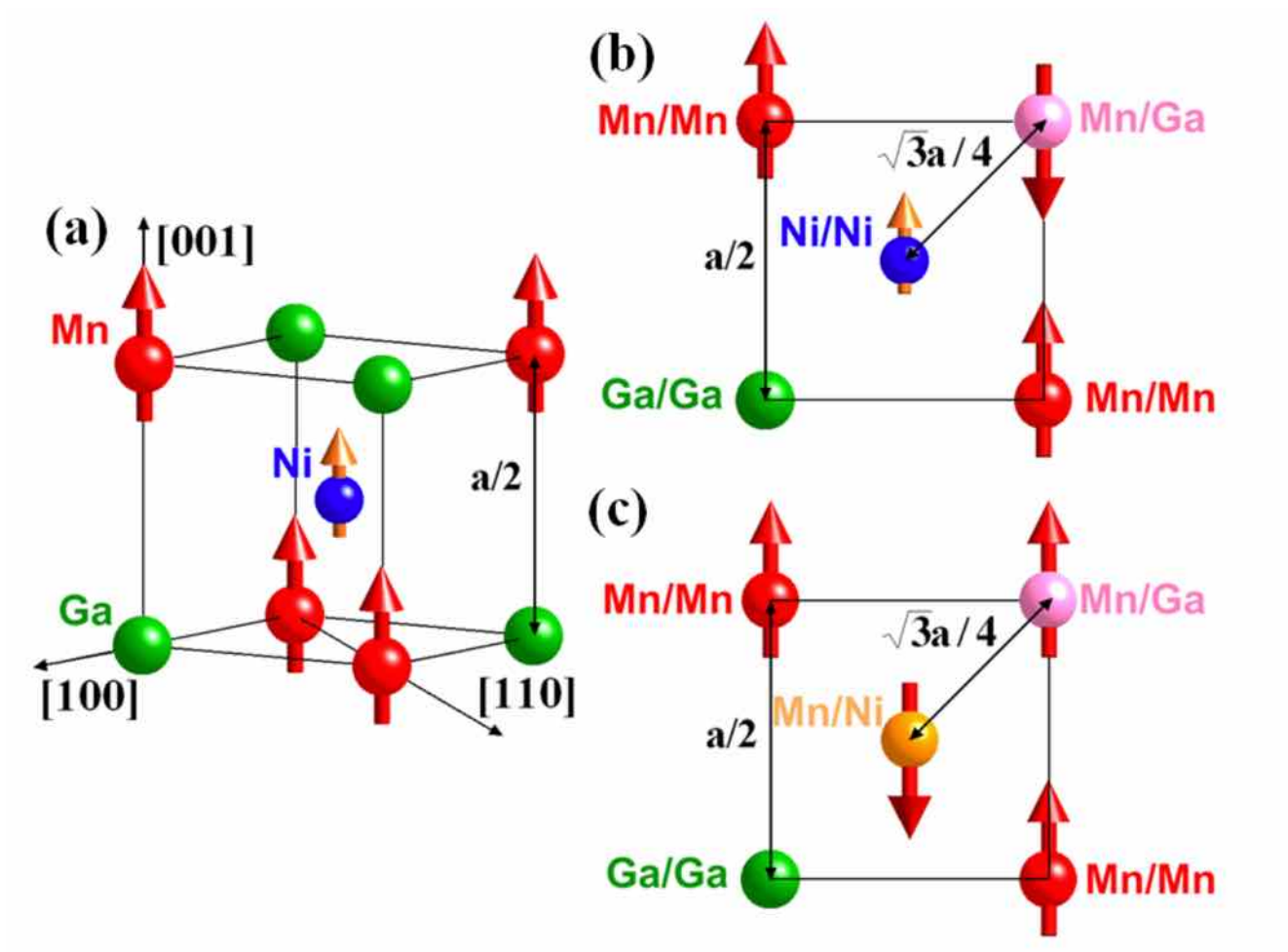
Site occupation & magnetism (excess Ni)

	Heusler 50–25–25	Ni49	Ni50	Ni52 52–26–22
Composition Ni–Mn–Ga (at%)	50–25–25	49–31–20	50–29–21	52–26–22
W = amu/FU	245	241	242	243
Measured Magnetization, σ (emu/g)	95	80.0	84.3	84.0
Measured n_B (μ_B/FU) [$\sigma W/N_A \mu_B$]	4.17	3.44	3.63	3.64
n_B if excess Mn (and Ni) go to Ga sites, off-site Mn are antiferromagnetic (no neutron results)	4.17	3.42	3.61	4.06 (+11.4%)
n_B if excess Ni goes to Mn sites (ferromagnetic) and 3 off-site Mn are at Ga (antiferromagnetic) (using neutron data)	↑	-	-	3.49 (-4.0%)

All Mn couple
ferromagnetically

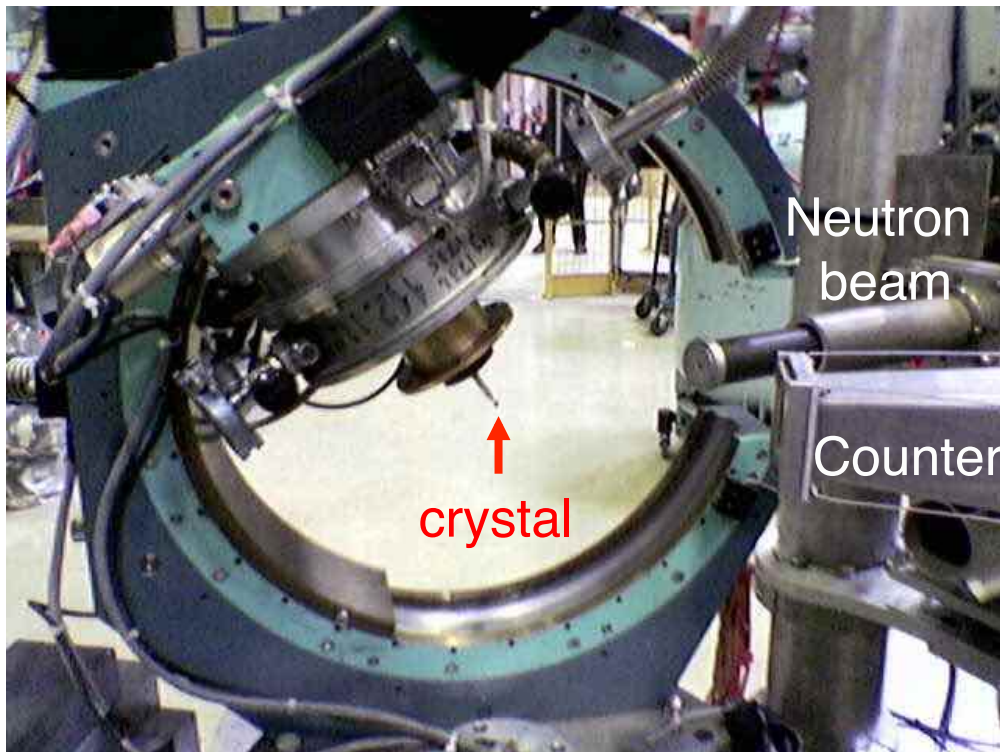
Excess Mn couples
anti-ferromagnetically
(Mn-Mn neighbors)

Site occupation & magnetism (defect Ni)

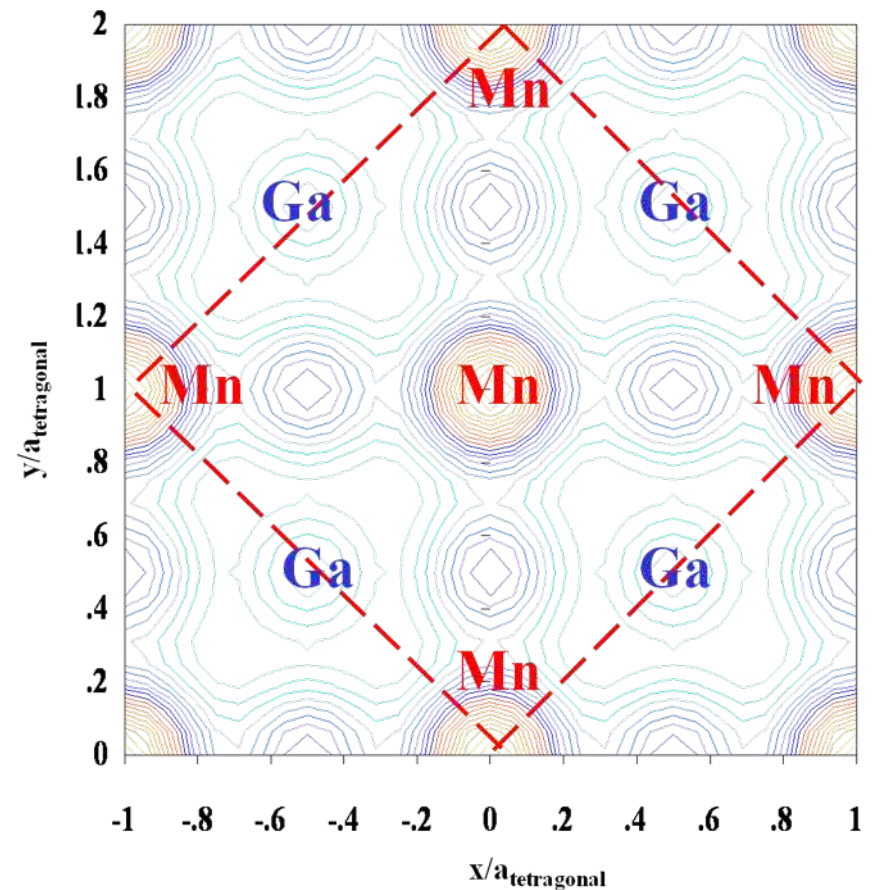


Difracción de monocristal

Cuatro círculos (D-10)

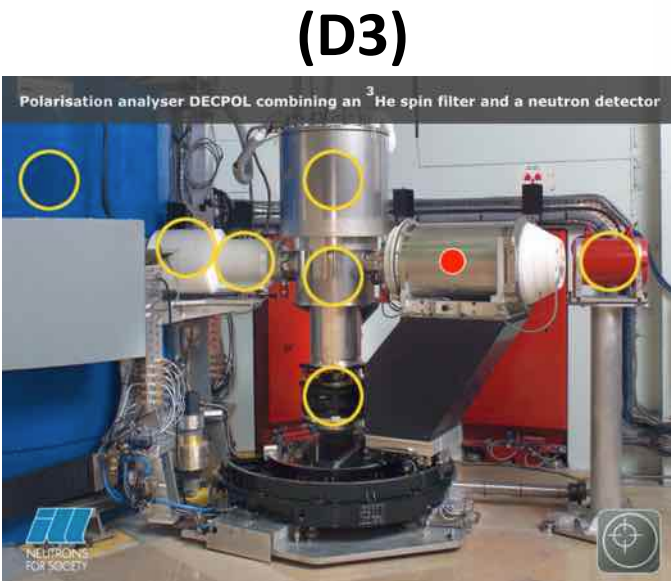


Mapas de momento magnético (Austenita)

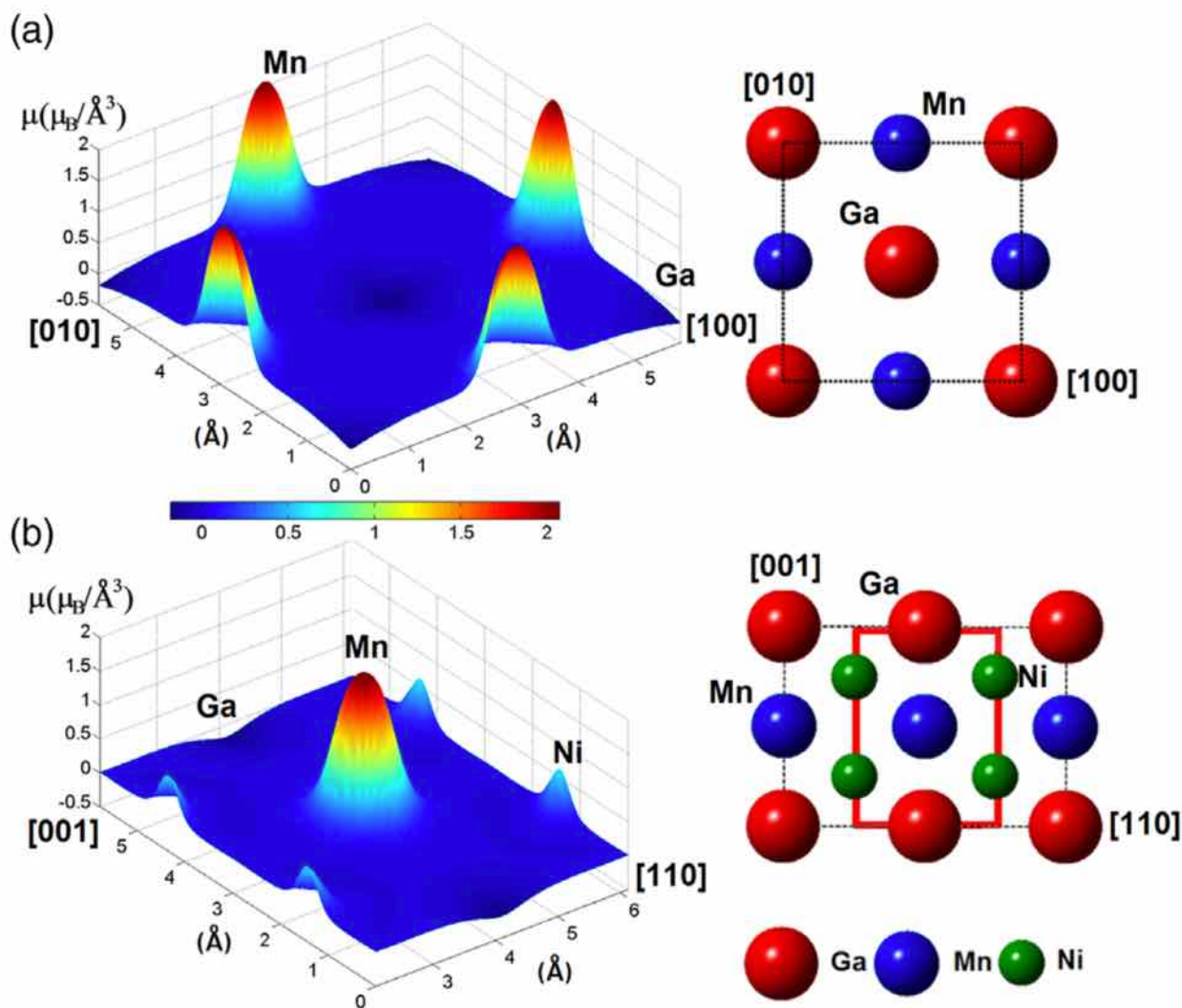


Neutrones polarizados

Momento magnético Austenita-Martensita



(AF) $2.92 \text{ \AA} \rightarrow (\text{FM}) 3.32 \text{ \AA}$



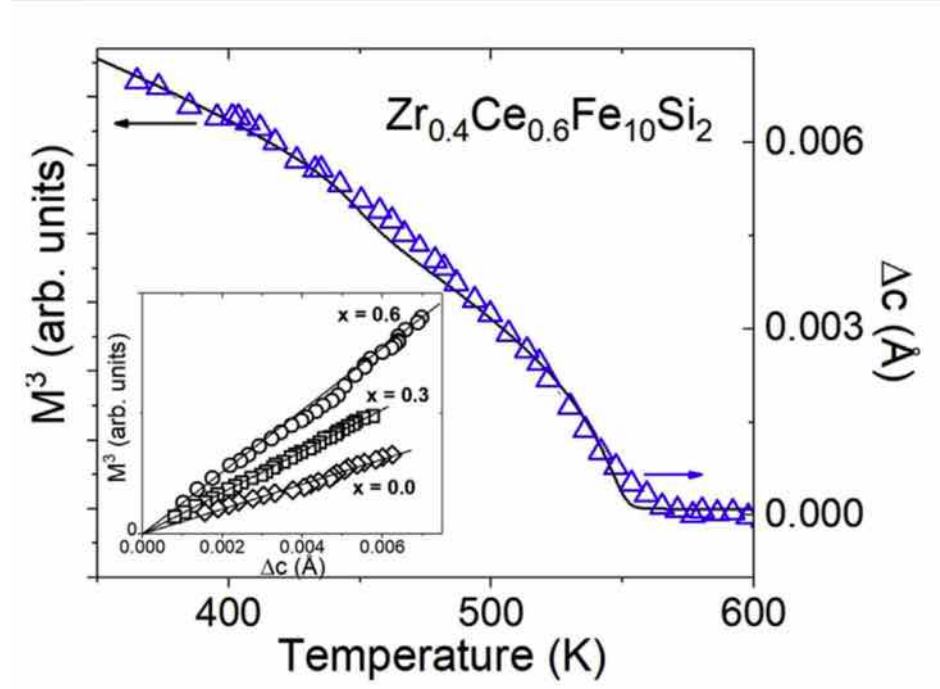
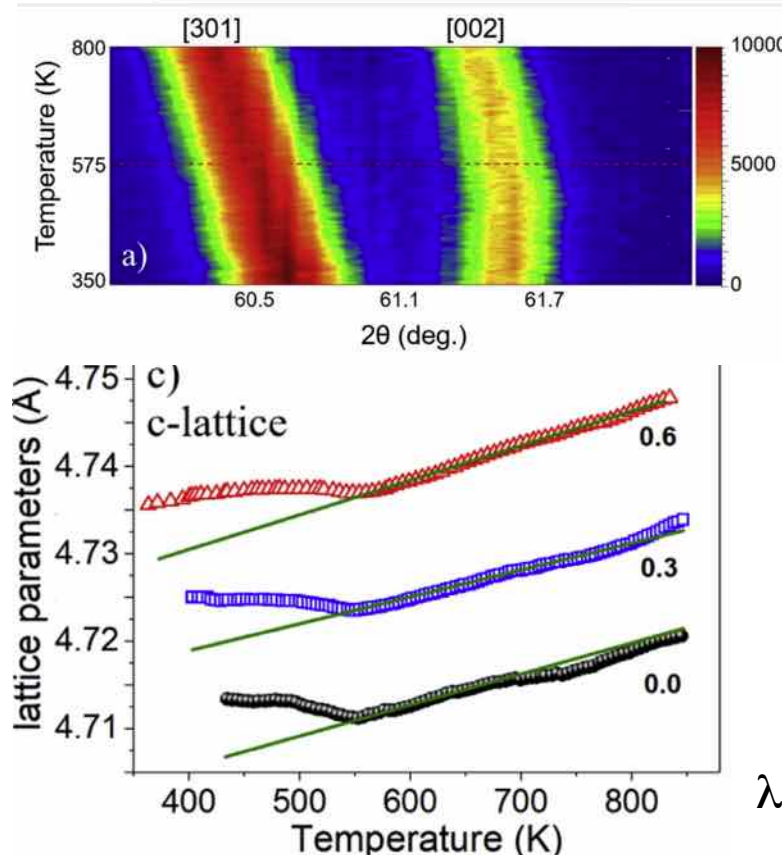
Imanes permanentes sin Tierras Raras

R(FeM)₁₂

Zr_{1-x}Ce_xFe₁₀Si₂ ($x=0.0, 0.3, 0.6$)

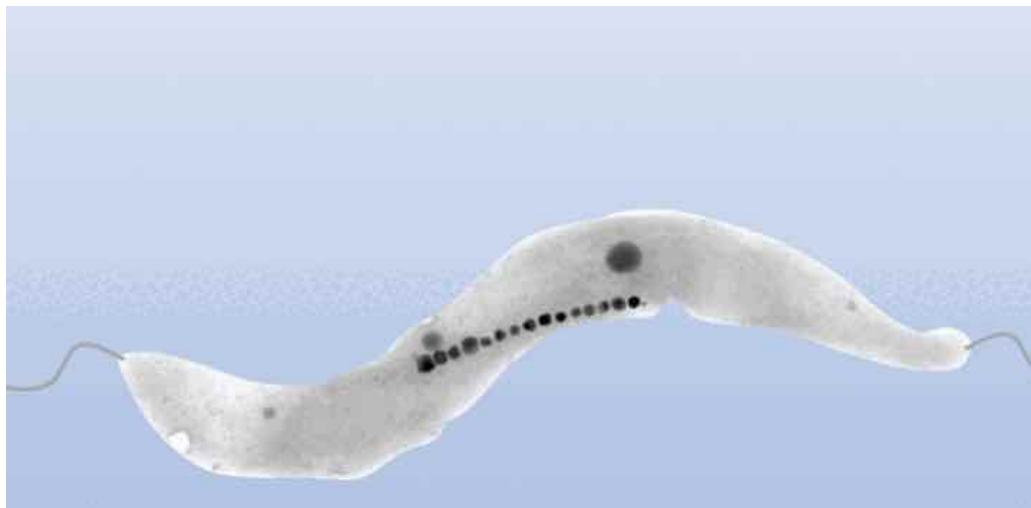
[ThMn₁₂]

Ce content	M_s (A·m ² kg ⁻¹)	$\mu_0 H_a$ (T)	a (Å)	c (Å)	a/c
$x = 0.0$	120	2.03	8.274	4.701	1.760
$x = 0.3$	120	2.31	8.303	4.707	1.764
$x = 0.6$	120	2.50	8.354	4.724	1.768



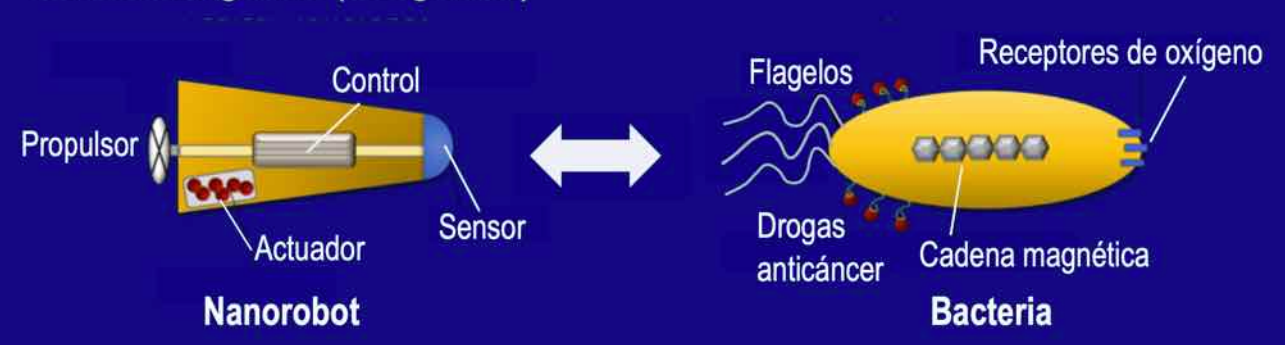
$\lambda s \approx 1500$ ppm $\propto M^3$, campo cristalino El Ce no contribuye
Origen puramente geométrico de la anisotropía

BACTERIAS MAGNETOTÁCTICAS



Bacterias Magnetotácticas como nano-bio-robots

Estas bacterias pueden utilizarse como robots biológicos para localizar tumores, transportar drogas o para tratamientos de hipertermia en terapias anticancerígenas (teragnosis)



GROUP OF MAGNETISM AND MAGNETIC MATERIALS



Miren Lasa
Fernández-Gutiérrez



José Manuel
Gómez-García



José Gutiérrez



Alfredo García-
Arribas



Gloria
Martínez-Chamizo



Vladimir
Chernenko



Alicia Muñoz



Ana García-
Prieto



Iker Orive



Patricia Laplaza



David de Cid



Adrián
Laborda



Mireia
Gutiérrez



Eduardo
Fernández



Loreto
Martínez



David Gutiérrez



Lucía González



Beatriz Sánchez



Noelia León



Virginia Meléndez
Alice Gascón

Departamento Electricidad y Electrónica;

Departamento Física Aplicada I;

Departamento Física Aplicada II;

Departamento de Inmunología Microbiología y Parasitología



erri ta zabal zazu



Universidad
del País Vasco

Euskal Herriko
Unibertsitatea

Master Interuniversitario en Nuevos Materiales



ASAMBLEA FUNDACIONAL

MADRID, 17 de Octubre de 2002

1^a REUNIÓN ANUAL

BILBAO, 10 de Octubre de 2003

Jornada monográfica: Imágenes magnéticas

1^a CONVOCATORIA del PREMIO SALVADOR VELAYOS

MADRID (2008): Agustín del Moral y Eloísa López



15 de Diciembre de 2006 Madrid, Salón de Actos del Edificio Central del CSIC



Remedando al replicante Roy Batty de Blade Runner...

He visto cosas que vosotros no creeríais: Las luces de los galvanómetros balísticos oscilando en la oscuridad en los sótanos de la Complutense, laminar cintas amorfas en la vía del expreso Madrid-Irún y escribir artículos a máquina con auténticas copias de papel carbón. Todas esas experiencias se perderán en el tiempo, como miles de artículos sin leer en las papeleras...

¡Muchas Gracias!